

arXiv Daily Focus Report

Auto-ARVIX Project

2025-07-11

今日论文总览: 39

领域	任务	数量
Computer Vision	Image Editing	4
	3D Reconstruction	14
	3D Object Detection	1
	Visual Question Answering	3
	Visual Reasoning	1
Natural Language Processing	Question Answering	5
	Benchmarking and Evaluation	2
	Retrieval-Augmented Generation	3
	Relation Extraction	1
	Prompt Optimization	1
	Prompt Engineering	1
	Continual Learning	1
	In-Context Learning	1
Reinforcement Learning	Multi-Agent Reinforcement Learning	1

S²Edit: Text-Guided Image Editing with Precise Semantic and Spatial Control

分类: Computer Vision / Image Editing — arXiv: 2507.04584v1 — Published: 2025-07-07

收录理由

匹配用户固定偏好 ('Computer Vision', 'Image Editing')

解决的问题

该论文解决了文本引导图像编辑中身份一致性与细节可控性不足的问题，特别是在复杂场景下难以实现精准的语义与空间分离。

独创性与创新点

论文提出了一种结合语义解耦与空间聚焦的文本引导编辑框架，通过语义正交约束、空间注意力掩码和多属性迁移扩展，实现了身份保持与局部编辑能力的结合。

方法对比

与现有方法相比，S²Edit 通过引入身份微调阶段和语义-空间控制机制，显著提升了编辑的保真度和可控性，同时在人脸和非人脸图像上均展现了优越性能。

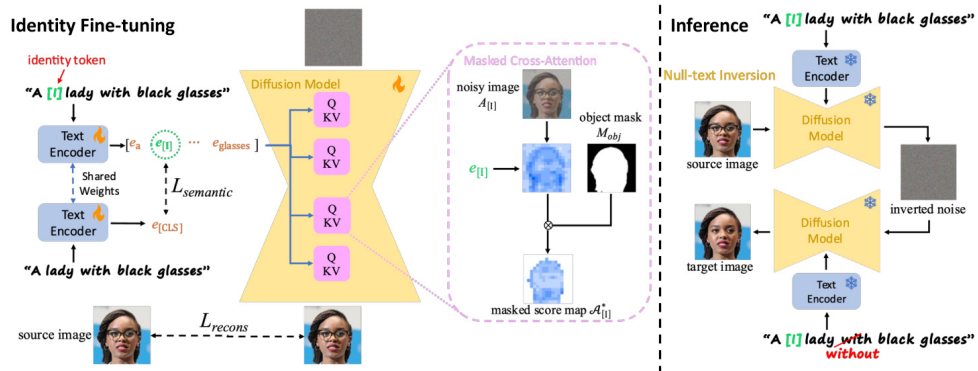


图 1: 图: 模型架构/工作流程

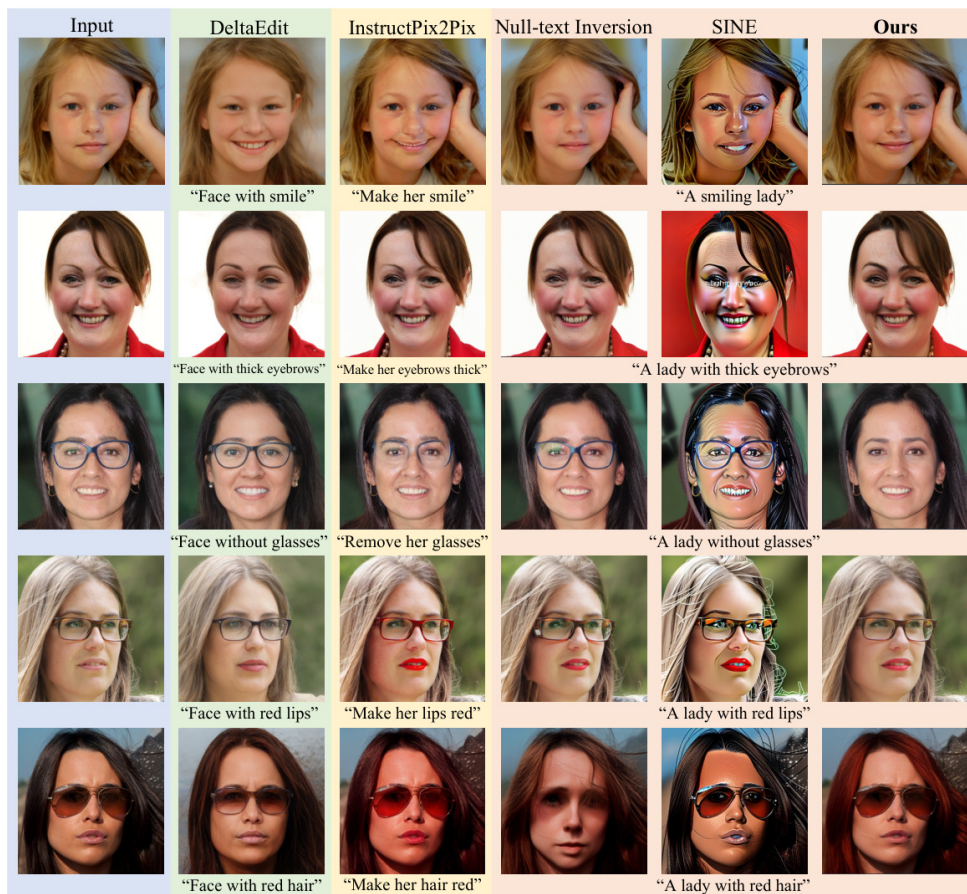


图 2: 图: 性能对比

Sat2City: 3D City Generation from A Single Satellite Image with Cascaded Latent Diffusion

分类: Computer Vision / 3D Reconstruction — arXiv: 2507.04403v1 — Published: 2025-07-06

收录理由

匹配用户固定偏好 ('Computer Vision', '3D Reconstruction')

解决的问题

本文解决了从单张卫星图像直接生成高精度、大规模 3D 城市场景的挑战，突破了传统方法对多源数据和复杂后处理流程的依赖。

独创性与创新点

论文提出了一种基于稀疏体素网格与级联潜扩散模型的框架，创新性地结合了级联潜扩散结构、多尺度特征编码、逆采样隐式监督和数据驱动训练，显著提升了几何保真度与空间连贯性。

方法对比

与现有方法如 CityDreamer 和 Sat2Scene 相比，Sat2City 无需依赖分割图等辅助输入，仅通过高度图即可生成几何结构和外观特征，且在稀疏点云数据下展现出更强的生成稳定性。

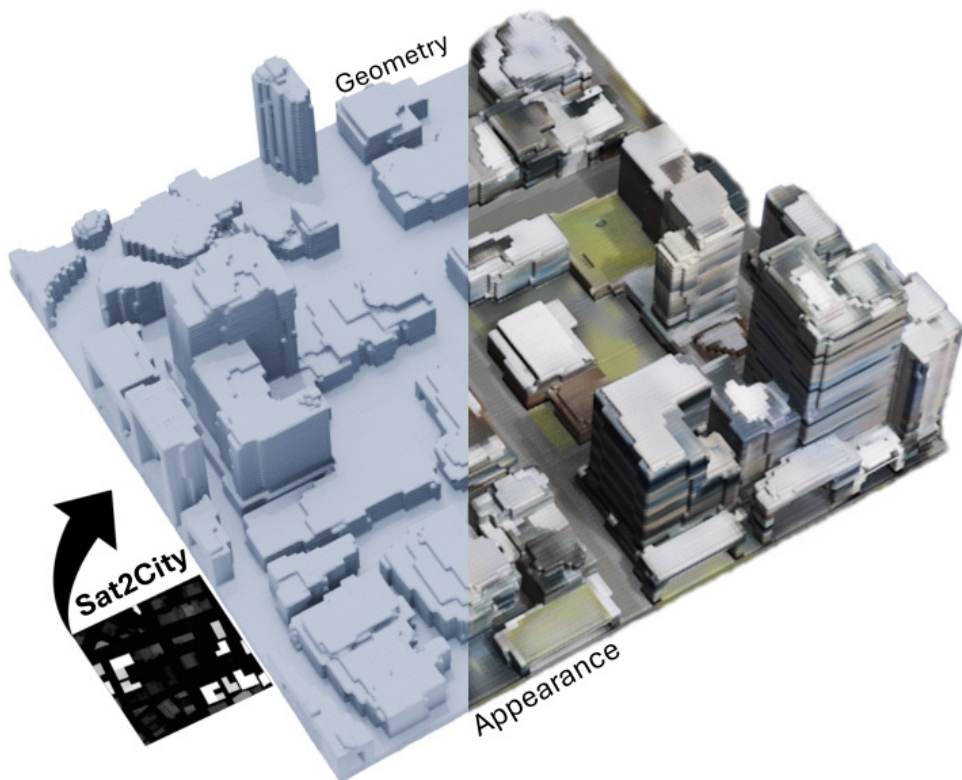


图 3: 图: 模型架构/工作流程

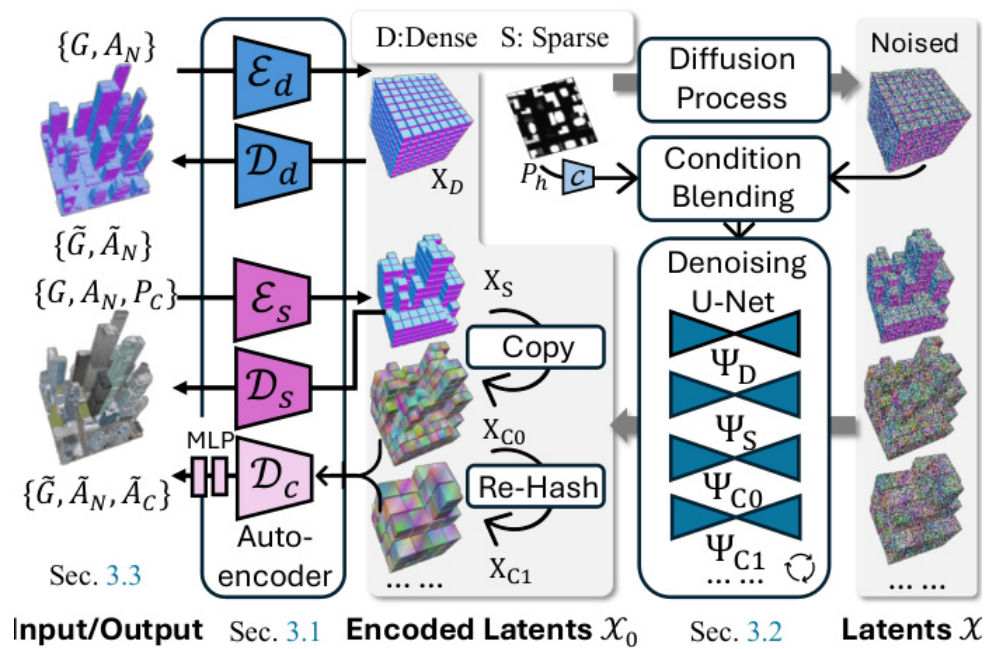


图 4: 图: 性能对比

SpiritRAG: A Q&A System for Religion and Spirituality in the United Nations Archive

分类: Natural Language Processing / Question Answering — arXiv: 2507.04395v1
— Published: 2025-07-06

收录理由

匹配用户固定偏好 ('Natural Language Processing', 'Question Answering')

解决的问题

该论文解决了联合国档案中涉及宗教与灵性议题的多语言、高噪声文本在信息检索和生成中的效率低、语境敏感性不足的问题，特别是在健康和教育等跨学科领域。

独创性与创新点

论文提出了一个针对宗教与灵性议题的 RAG 框架，首次将联合国档案中的多语言 R/S 文本纳入问答系统，并通过文化对齐评估与偏见测量，系统性分析宗教文本在 NLP 中的特殊性。

方法对比

与传统方法相比，SpiritRAG 结合了 Qwen3 大语言模型与联合国决议文档库，采用语义检索和生成模型生成上下文敏感的答案，同时引入专家验证机制和动态扩展模块，显著提升了信息检索和生成的质量。

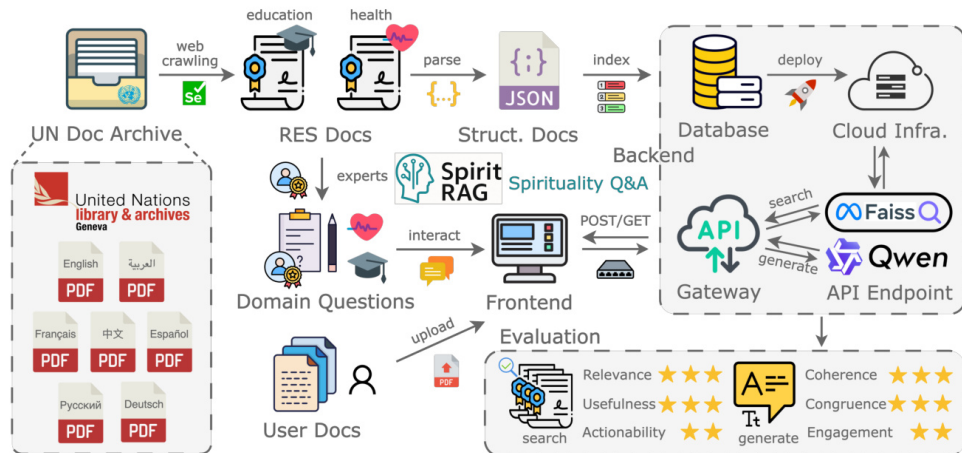


图 5: 图: 模型架构/工作流程

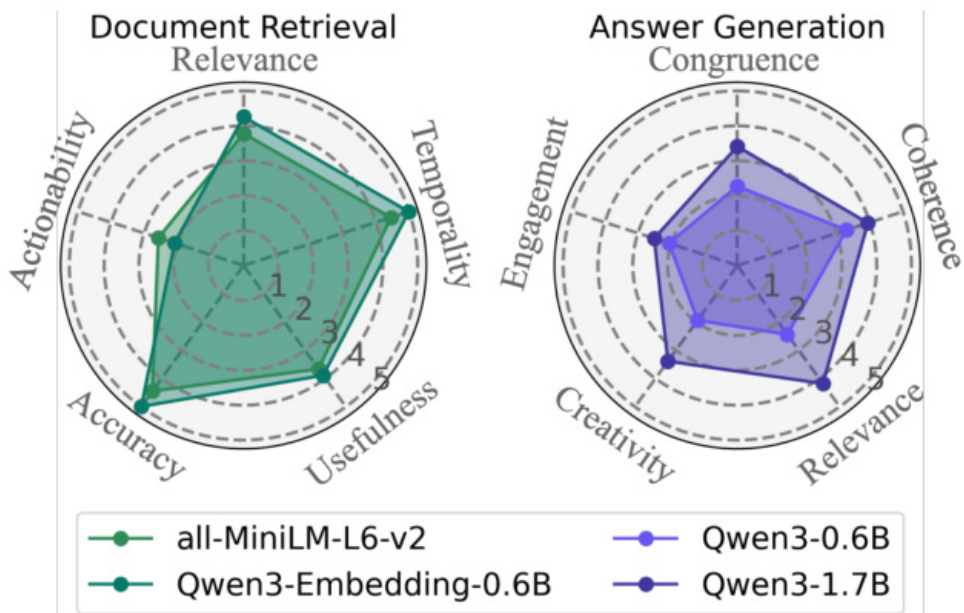


图 6: 图: 性能对比

MambaFusion: Height-Fidelity Dense Global Fusion for Multi-modal 3D Object Detection

分类: Computer Vision / 3D Object Detection — arXiv: 2507.04369v1 —
Published: 2025-07-06

收录理由

匹配用户固定偏好 ('Computer Vision', '3D Object Detection')

解决的问题

本文解决了多模态 3D 目标检测中传统融合策略在效率与长程依赖建模间的权衡困境、场景信息在多模态对齐中的丢失问题，以及高精度检测与计算复杂度之间的矛盾。

独创性与创新点

论文提出 MambaFusion 框架，创新性地结合了混合 Mamba 块与高度保真 LiDAR 编码 (HFL)，通过 HFL 策略保留点云高度信息，结合 Mamba 的线性复杂度与长程依赖建模能力，设计了密集全局融合架构，突破了传统 Transformer 在长程依赖建模中的效率瓶颈。

方法对比

与现有方法相比，MambaFusion 在保留高精度的同时显著降低了计算开销，通过 HFL 编码策略精准保留 LiDAR 点云的高度信息，提升了对高架物体的检测能力，并在 nuScenes 数据集上实现了性能突破，推理速度提升约 2.3 倍。

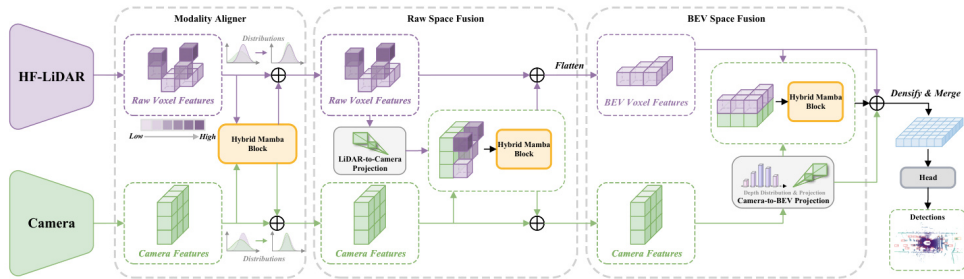


图 7: 图：模型架构/工作流程

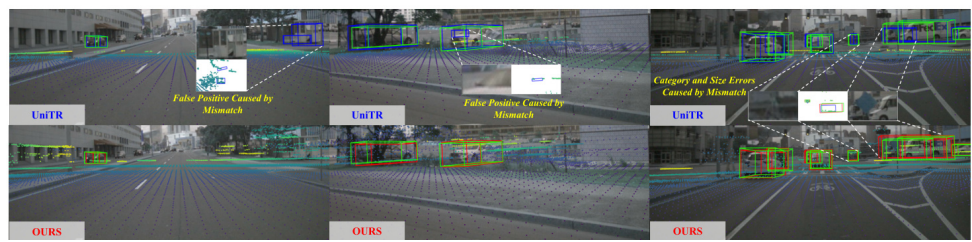


图 8: 图: 性能对比

Computed Tomography Visual Question Answering with Cross-modal Feature Graphing

分类: Computer Vision / Visual Question Answering — arXiv: 2507.04333v1
— Published: 2025-07-06

收录理由

匹配用户固定偏好 ('Computer Vision', 'Visual Question Answering')

解决的问题

该论文解决了医学影像问答 (CT VQA) 中传统方法在处理三维 CT 体积数据时的局限性，特别是忽略了 CT 切片间的空间连续性与跨模态关联性，导致模型难以准确捕捉解剖结构与临床问题的复杂语义关系。

独创性与创新点

论文提出了一种基于跨模态图表示的创新框架，结合图神经网络 (GNN) 与大语言模型 (LLM)，通过构建融合 CT 切片与文本查询的图结构，动态建模多模态特征间的交互关系。其核心创新包括注意力引导的图卷积网络 (A-GCN)、跨模态特征图融合以及软提示策略。

方法对比

与现有方法如 Oscar、VL-BERT 相比，该方法通过引入跨模态图结构和动态注意力机制，显著提升了对复杂医学语义的建模能力，同时在多模态融合、模型规模及训练策略上实现了技术突破，从而在准确率、鲁棒性及可解释性指标上取得领先。

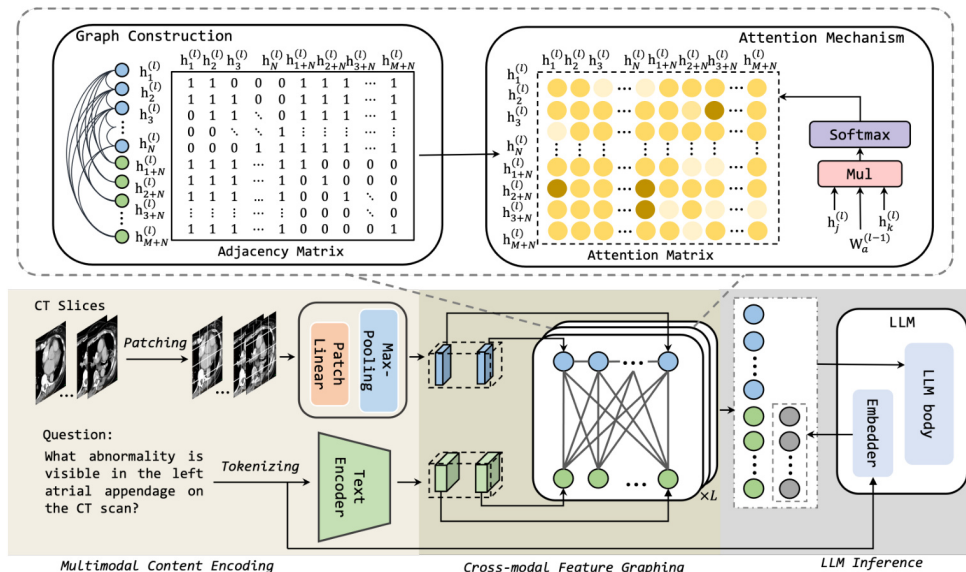


图 9: 图: 模型架构/工作流程

MoReMouse: Monocular Reconstruction of Laboratory Mouse

分类: Computer Vision / 3D Reconstruction — arXiv: 2507.04258v1 — Published: 2025-07-06

收录理由

匹配用户固定偏好 ('Computer Vision', '3D Reconstruction')

解决的问题

该论文解决了实验室小鼠在单视角下的高保真三维重建问题，克服了传统稀疏关键点跟踪方法在重建精度、动态表面细节丢失以及几何一致性差等方面的不足。

独创性与创新点

论文提出了一种基于 Transformer 架构与三平面表示的单目密集三维重建模型，其核心创新包括三平面编码、测地线连续对应嵌入、两阶段训练策略以及多模态优化，显著提升了重建精度与鲁棒性。

方法对比

与现有方法相比，MoReMouse 在合成与真实数据集上均表现出更优的性能，其结合 NeRF 与 DMTet 渲染器的框架以及多模态优化策略，使其在表面细节与动态运动一致性方面优于传统方法。

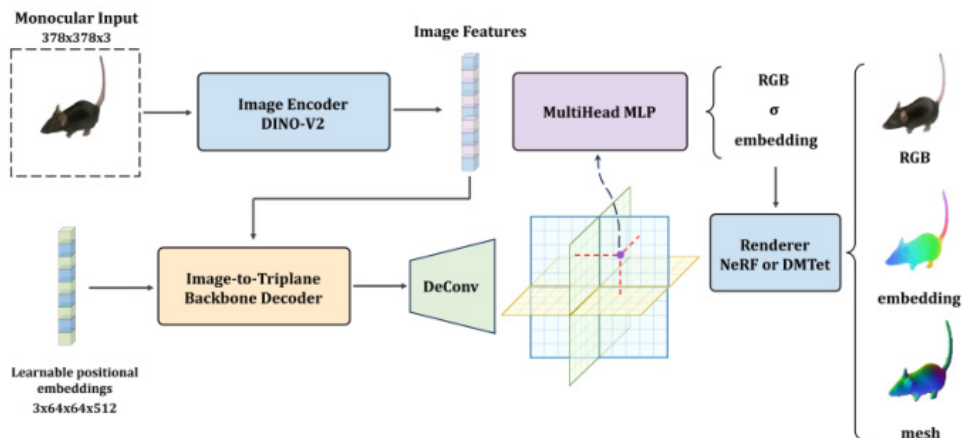


图 10: 图：模型架构/工作流程

Beyond Independent Passages: Adaptive Passage Combination Retrieval for Retrieval Augmented Open-Domain Question Answering

分类: Natural Language Processing / Question Answering — arXiv: 2507.04069v1
— Published: 2025-07-05

收录理由

匹配用户固定偏好 ('Natural Language Processing', 'Question Answering')

解决的问题

该论文解决了传统开放域问答系统中基于独立段落检索方法的局限性，包括冗余信息、噪声干扰、关键信息缺失以及段落间依赖关系未被显式建模的问题。

独创性与创新点

论文提出了 AdaPCR 框架，通过动态组合多段落检索提升问答性能，首次显式建模段落间依赖关系，并通过理论证明 one-hot 检索器的最优性，为 RAG 方法提供理论依据。

方法对比

与现有方法相比，AdaPCR 通过两阶段组合检索、重排序训练、平衡采样策略及 RAG 损失函数，显著提升了信息整合与推理能力，且无需额外停止模块即可适应不同任务需求。

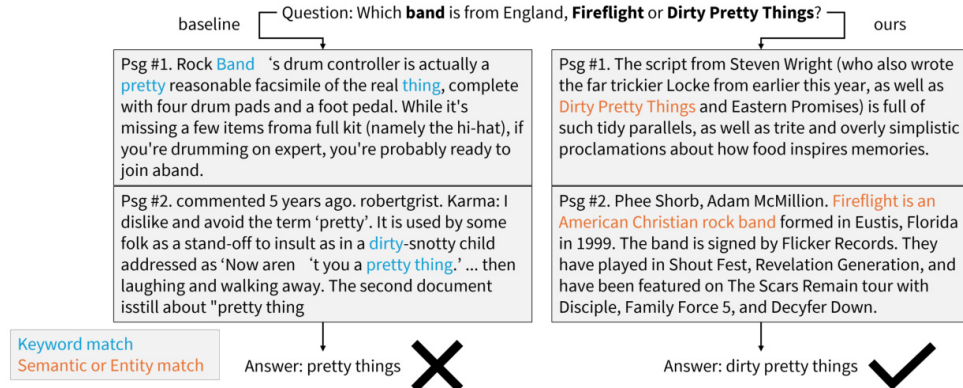


图 11: 图：模型架构/工作流程

Nunchi-Bench: Benchmarking Language Models on Cultural Reasoning with a Focus on Korean Superstition

分类: Natural Language Processing / Benchmarking and Evaluation — arXiv: 2507.04014v1 — Published: 2025-07-05

收录理由

匹配用户固定偏好 ('Natural Language Processing', 'Benchmarking and Evaluation')

解决的问题

本论文解决了语言模型在文化推理任务中的显著短板，特别是在韩国迷信文化场景中的表现问题，同时指出现有评估体系存在数据集规模有限、文化覆盖不足及评估方法偏差等问题。

独创性与创新点

论文提出 Nunchi-Bench 基准测试框架，通过设计多维度任务评估模型对文化隐含信息的推理能力，并引入语言特定训练与多语言模型对比，结合人类标注优化评分标准，修正 0 分与-1 分判定规则以提升评估可靠性。

方法对比

与现有方法相比，Nunchi-Bench 通过文化语境提示和语言特定训练优化模型的文化适应性，同时修正评分标准并建立公开排行榜，推动 LLMs 文化理解研究的标准化与可比性。

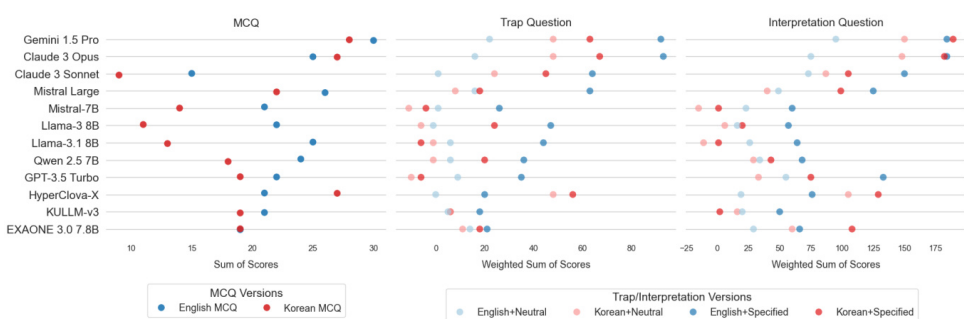


图 12: 图：模型架构/工作流程

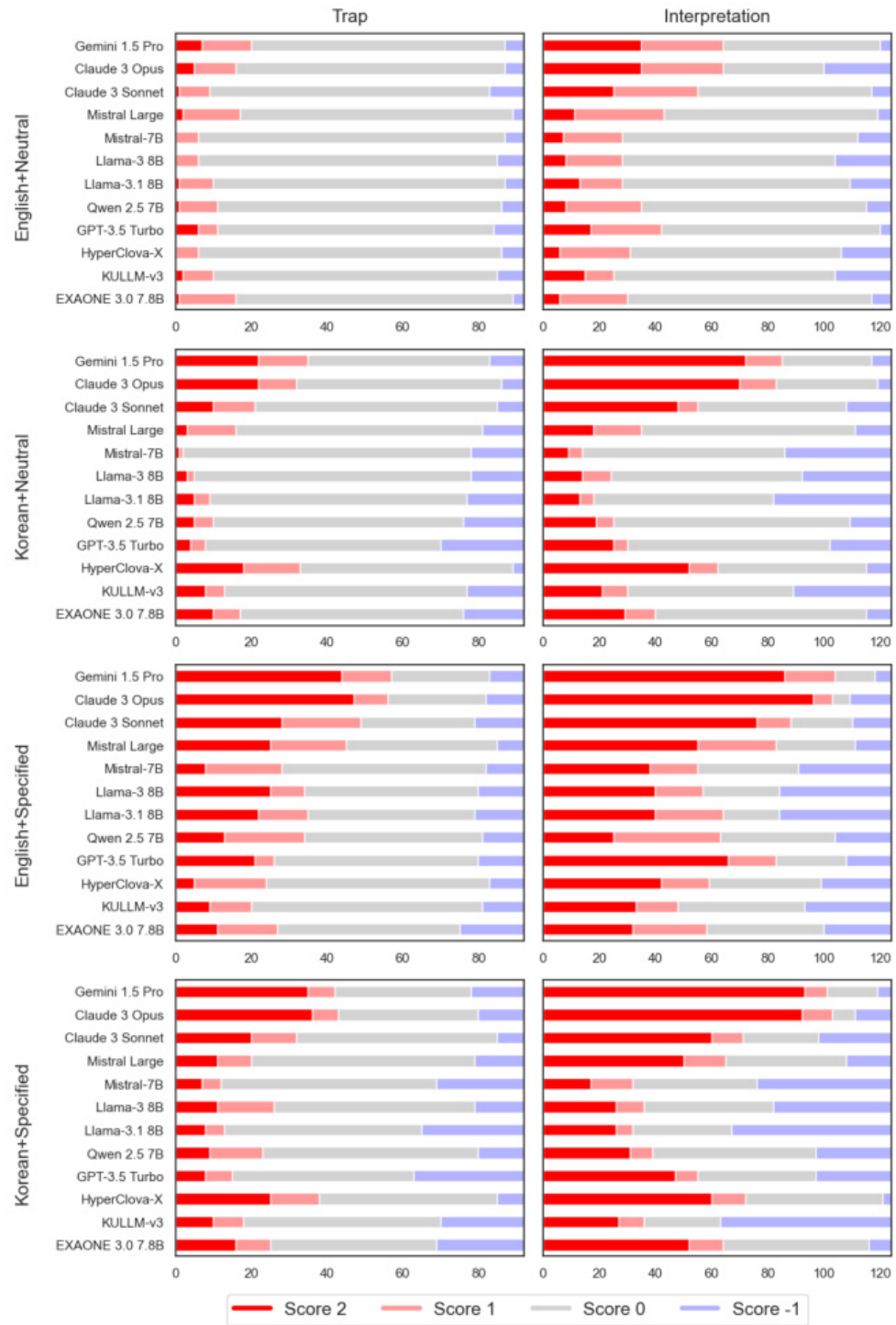


图 13: 图: 性能对比

Flux-Sculptor: Text-Driven Rich-Attribute Portrait Editing through Decomposed Spatial Flow Control

分类: Computer Vision / Image Editing — arXiv: 2507.03979v1 — Published: 2025-07-05

收录理由

匹配用户固定偏好 ('Computer Vision', 'Image Editing')

解决的问题

该论文解决了文本驱动的人像编辑任务中保持高保真度与灵活编辑面部属性之间的平衡问题，特别是在处理复杂属性如性别偏见时，避免了不一致或失真问题。

独创性与创新点

论文提出了两个创新模块：Prompt-Aligned Spatial Locator (PASL) 和 Structure-to-Detail Edit Control (S2D-EC)，分别用于生成细粒度面部区域掩码和分阶段控制去噪过程，从而实现精准定位和自然编辑。此外，构建了 Text2Mask 数据集并引入了属性级评估指标，提升了方法的灵活性和实用性。

方法对比

与现有方法相比，Flux-Sculptor 通过解耦结构与细节编辑，显著提升了编辑的自然性和身份一致性。同时，其在噪声鲁棒性和开放集文本处理能力上表现突出，为后续人像编辑任务提供了新思路。

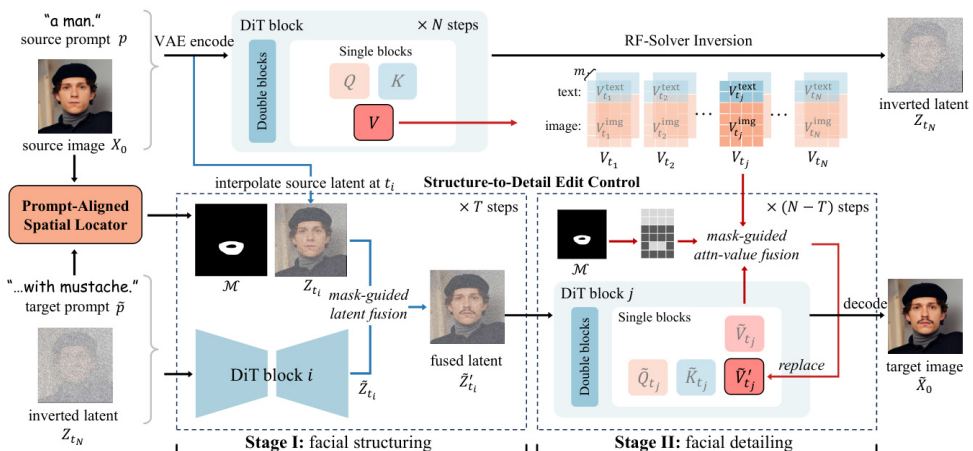


图 14: 图：模型架构/工作流程

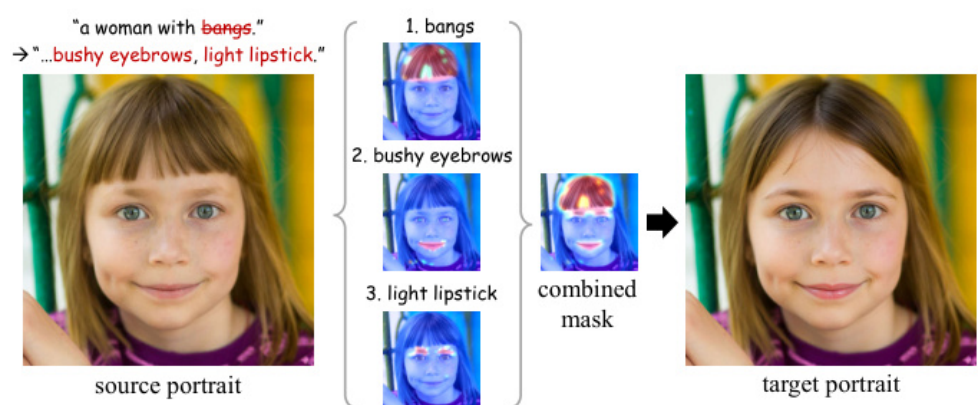


图 15: 图: 性能对比

From Query to Explanation: Uni-RAG for Multi-Modal Retrieval-Augmented Learning in STEM

分类: Natural Language Processing / Retrieval-Augmented Generation —
arXiv: 2507.03868v1 — Published: 2025-07-05

收录理由

匹配用户固定偏好 ('Natural Language Processing', 'Retrieval-Augmented Generation')

解决的问题

该论文解决了 STEM 教育中多模态检索与生成的难题，包括跨模态语义对齐、多样化输入处理及教育内容生成，同时应对高计算成本和低泛化能力的挑战。

独创性与创新点

论文提出 Uni-RAG 框架，首次将多模态检索与指令调优结合，通过动态增强查询、多模态教育样本检索及轻量级提示调优技术实现跨模态查询的高效处理与教育内容生成。此外，开发了轻量化提示库与 MoE-LoRA 适配机制，显著提升模型泛化能力与推理效率。

方法对比

与现有方法相比，Uni-RAG 通过引入三元组损失函数优化多模态检索任务，同时冻结 LLM 参数以降低计算成本，且设计原型学习模块增强模型对多样化输入的适应性，从而在零样本场景下表现出更强的跨领域适用性。

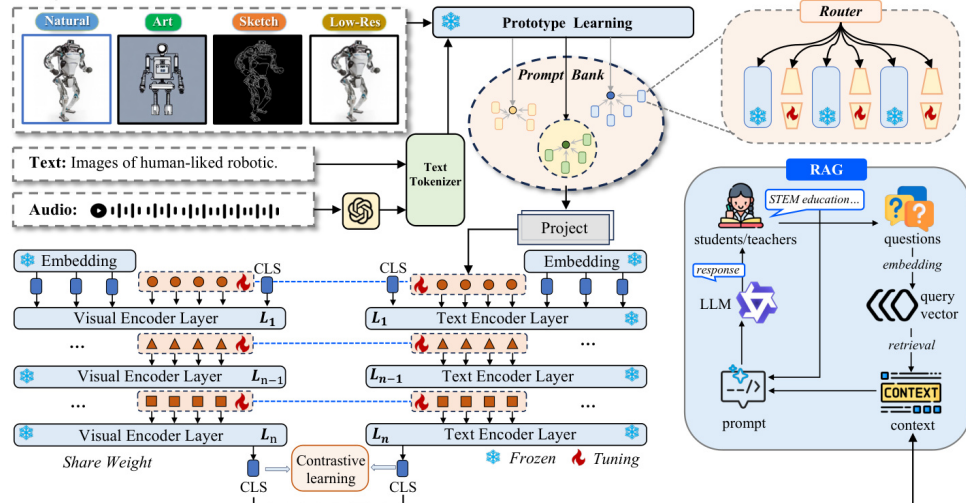


图 16: 图: 模型架构/工作流程

RELRaE: LLM-Based Relationship Extraction, Labelling, Refinement, and Evaluation

分类: Natural Language Processing / Relation Extraction — arXiv: 2507.03829v1
— Published: 2025-07-04

收录理由

匹配用户固定偏好 ('Natural Language Processing', 'Relation Extraction')

解决的问题

该论文解决了实验室数据语义化中将 XML 模式高效转化为语义丰富的 RDFS 本体的问题，特别是在复杂领域知识理解和本体构建中存在局限性，以及关系标签生成与质量评估方面的准确性不足和可扩展性差的问题。

独创性与创新点

论文提出 RELRaE 框架，首次系统性整合规则方法与大语言模型（LLM），实现从 XML 模式到 RDFS 本体的自动化转换。此外，设计了领域适配的提示模板，显著提升标签与领域知识的契合度，并验证了 LLM 在关系标签生成与评估中的有效性。

方法对比

论文提出的方法（RELRaE）与现有方法（如 LLM-only、规则驱动的 RuBREx）相比，通过规则引导 LLM 推理，降低了对领域知识的依赖，提升了本体构建的自动化水平。实验结果表明，混合方法（Refined）在标签准确性上优于单一方法，F1 值提升 12.7%。

Agent-Based Detection and Resolution of Incompleteness and Ambiguity in Interactions with Large Language Models

分类: Natural Language Processing / Question Answering — arXiv: 2507.03726v1
— Published: 2025-07-04

收录理由

匹配用户固定偏好 ('Natural Language Processing', 'Question Answering')

解决的问题

该论文解决了大型语言模型在自然语言问答系统中面临的不完整性和歧义性问题，特别是在多轮对话场景中，这些问题会导致答案准确性下降。

独创性与创新点

论文提出了一种基于代理的‘转换器’机制，通过分类-解析-生成三阶段流程检测并修复问题缺陷。核心创新包括零样本 ReAct 代理、上下文转换器和问题转换器，这些方法突破了传统方法对标注数据的依赖，并提升了系统的自主性和灵活性。

方法对比

与现有依赖外部知识库或全知代理（Oracle）的方法相比，该方法通过上下文转换器和问题转换器实现了问题重构，无需 Oracle 即可提升系统性能，同时降低了成本和复杂度。此外，该方法在处理高不完整性和模糊性问题时表现优于基线模型。

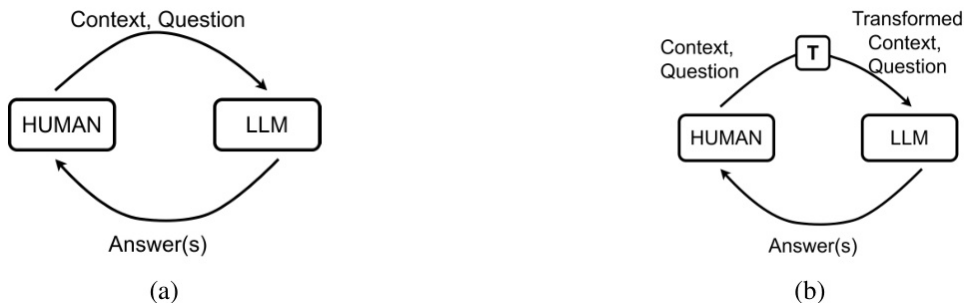


图 17: 图: 模型架构/工作流程

Is It Time To Treat Prompts As Code? A Multi-Use Case Study For Prompt Optimization Using DSPy

分类: Natural Language Processing / Prompt Optimization — arXiv: 2507.03620v1
— Published: 2025-07-04

收录理由

匹配用户固定偏好 ('Natural Language Processing', 'Prompt Optimization')

解决的问题

论文解决了当前提示工程依赖人工试错、缺乏系统化优化方法的问题，导致大语言模型在复杂任务中性能不稳定，且提示质量难以量化评估。

独创性与创新点

论文提出将提示工程视为可编程流程，基于 DSPy 框架实现提示的自动化生成与迭代优化，首次将提示工程转化为可编程流程，并引入多维度评估体系与矛盾检测机制。

方法对比

与现有方法相比，该方法通过结构化提示设计和优化策略显著提升了关键任务的准确率，同时揭示了优化策略对模型选择与任务复杂度的依赖性，为后续研究提供了方向性参考。

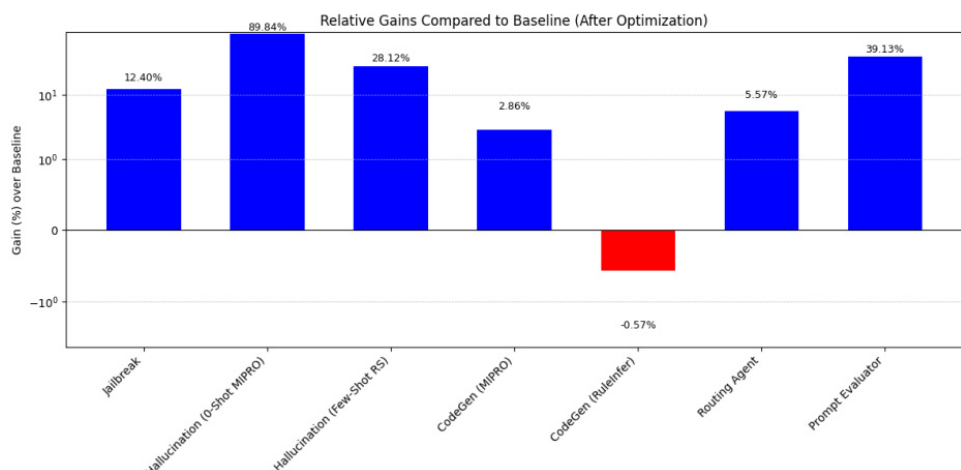


图 18: 图：模型架构/工作流程

Benchmarking Vector, Graph and Hybrid Retrieval Augmented Generation (RAG) Pipelines for Open Radio Access Networks (ORAN)

分类: Natural Language Processing / Retrieval-Augmented Generation —
arXiv: 2507.03608v1 — Published: 2025-07-04

收录理由

匹配用户固定偏好 ('Natural Language Processing', 'Retrieval-Augmented Generation')

解决的问题

本文解决了在开放无线接入网络 (ORAN) 场景下，传统基于向量的检索增强生成 (RAG) 方法在处理结构化电信数据时存在的事实准确性不足、上下文关联性弱等问题，旨在探索适用于 ORAN 场景的最优检索策略与评估框架。

独创性与创新点

论文提出了一种基于 Neo4j 的知识图谱方法，融合图结构与向量检索技术，提出了 GraphRAG 和 Hybrid GraphRAG 两种混合方法。其中，GraphRAG 通过知识图谱的语义关联提升检索效率，而 Hybrid GraphRAG 进一步结合向量检索增强事实准确性，为复杂电信场景提供了新的解决方案。

方法对比

与传统基于向量的 RAG 方法相比，GraphRAG 通过知识图谱的语义关联显著提升了上下文相关性和答案聚焦性；而 Hybrid GraphRAG 在事实准确性上进一步优化，但需权衡冗余问题。与现有方法相比，本文提出的混合方法在复杂推理任务中表现更优，同时构建了面向 ORAN 的 RAG 评估框架，为高要求领域的系统性基准测试提供了方法论支持。

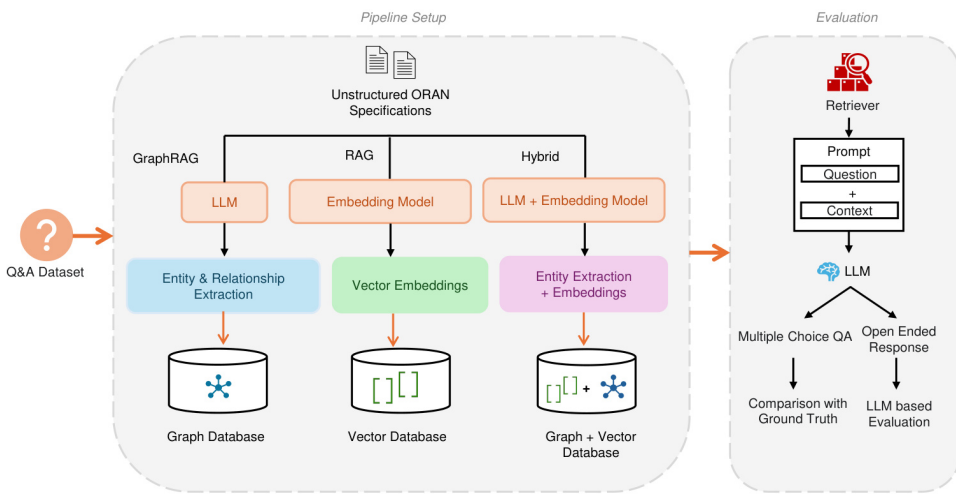


图 19: 图: 模型架构/工作流程

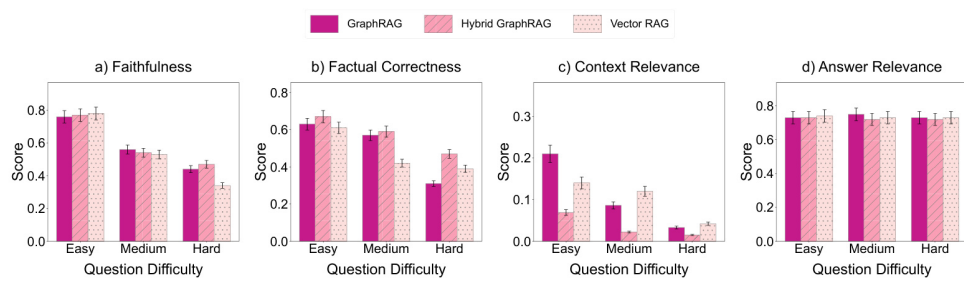


图 20: 图: 性能对比

Pose-Star: Anatomy-Aware Editing for Open-World Fashion Images

分类: Computer Vision / Image Editing — arXiv: 2507.03402v1 — Published: 2025-07-04

收录理由

匹配用户固定偏好 ('Computer Vision', 'Image Editing')

解决的问题

该论文解决了开放世界时尚图像编辑中用户自定义区域灵活性不足和复杂姿态下解剖结构误分割导致的编辑失真问题。

独创性与创新点

论文提出了一种解剖学感知框架，融合扩散模型与骨骼关键点分析，通过多阶段注意力过滤、跨-自注意力融合、星形标记与软组织标记等创新方法，显著提升了复杂姿态下的解剖结构定位精度和编辑效果。

方法对比

与现有方法相比，Pose-Star 通过引入多阶段动态分析和跨-自注意力融合，解决了注意力机制失效和边界模糊问题，同时通过星形标记机制优化注意力映射，提升了编辑的鲁棒性和灵活性。

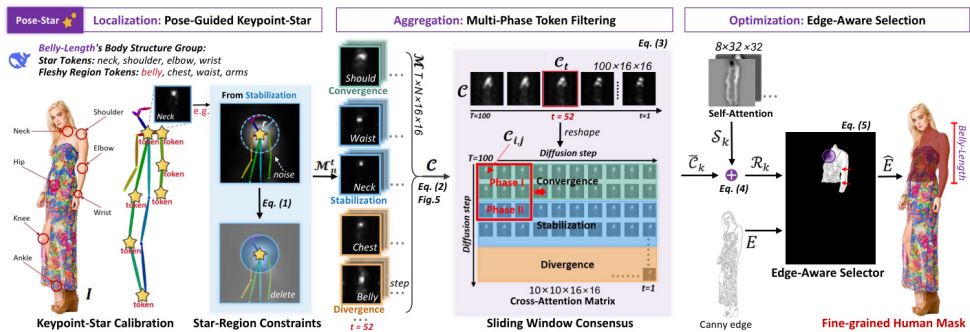


图 21: 图: 模型架构/工作流程



图 22: 图: 性能对比

CodeAgents: A Token-Efficient Framework for Codified Multi-Agent Reasoning in LLMs

分类: Natural Language Processing / Prompt Engineering — arXiv: 2507.03254v1
— Published: 2025-07-04

收录理由

匹配用户固定偏好 ('Natural Language Processing', 'Prompt Engineering')

解决的问题

论文解决了大型语言模型在复杂任务中规划效率低、token 消耗高及多智能体协作不足的问题，通过结构化伪代码和模块化设计提升推理效率和可解释性。

独创性与创新点

论文提出基于结构化伪代码的多智能体推理框架 CodeAgents，结合自然语言提示与代码结构，实现任务分解、动态反馈和跨代理互操作性，突破传统单智能体提示的局限。

方法对比

与传统单智能体提示方法相比，CodeAgents 通过模块化设计和动态反馈机制，在有限 token 预算下显著提升任务成功率和推理效率，同时增强多步推理能力，优于自然语言提示基线。

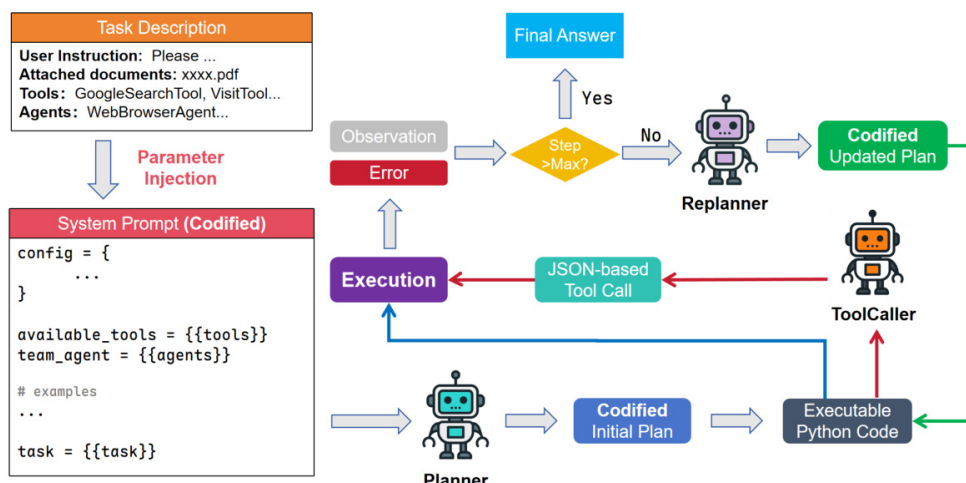


图 23: 图: 模型架构/工作流程

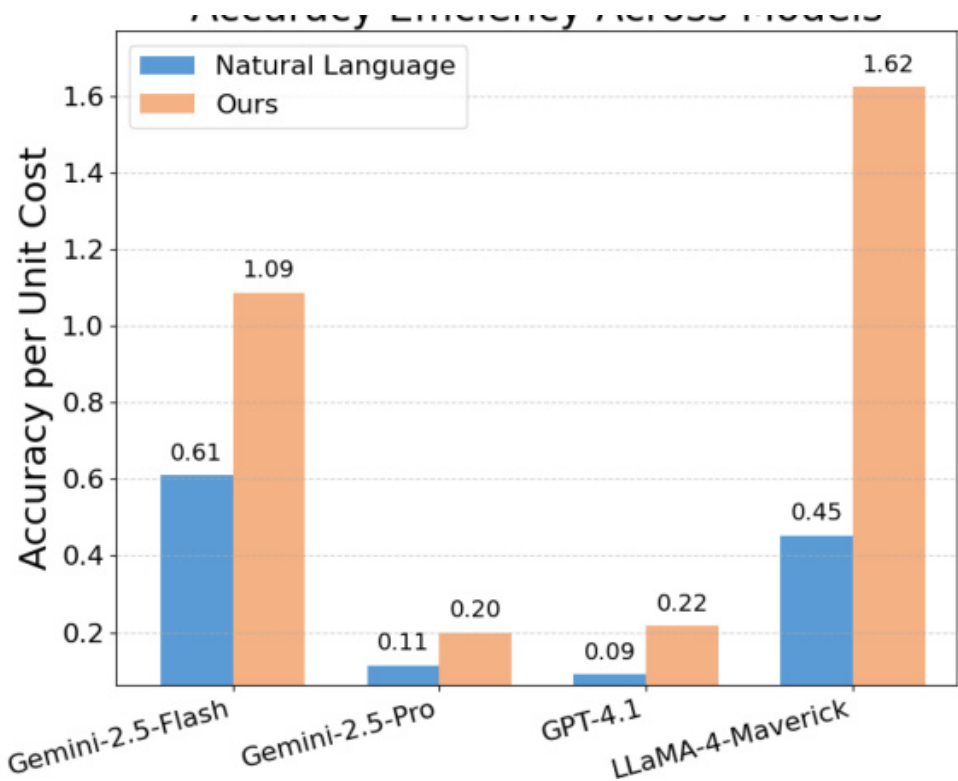


图 24: 图: 性能对比

Point3R: Streaming 3D Reconstruction with Explicit Spatial Pointer Memory

分类: Computer Vision / 3D Reconstruction — arXiv: 2507.02863v1 — Published: 2025-07-03

收录理由

匹配用户固定偏好 ('Computer Vision', '3D Reconstruction')

解决的问题

该论文解决了传统 3D 重建方法在处理动态场景时面临的隐式记忆容量有限、信息丢失及计算效率低下的问题，同时提升了对稀疏输入和无序图像序列的适应能力。

独创性与创新点

论文提出了一种基于显式空间指针记忆的流式 3D 重建框架，通过动态指针分配、结构化记忆融合和流式处理机制，实现了动态与静态场景的统一建模，并在稀疏输入下超越现有方法。

方法对比

与现有方法相比，Point3R 通过显式空间指针记忆突破了隐式方法的容量限制，结合层次位置嵌入和自适应融合策略，显著提升了信息整合效率与重建鲁棒性。此外，其流式处理机制支持稀疏输入和无序图像序列，兼顾实时性与精度。

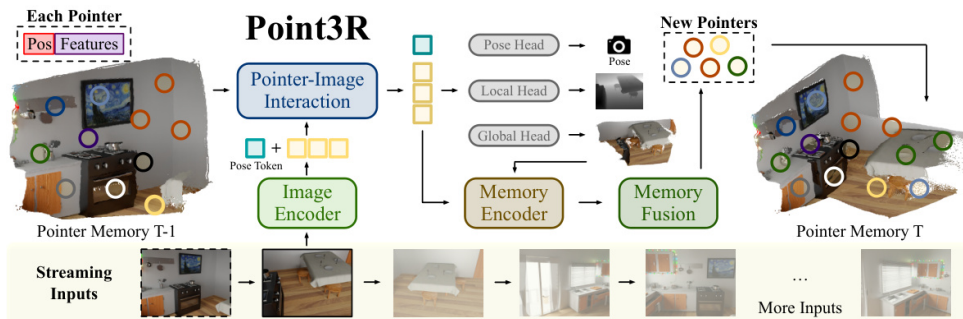


图 25: 图: 模型架构/工作流程

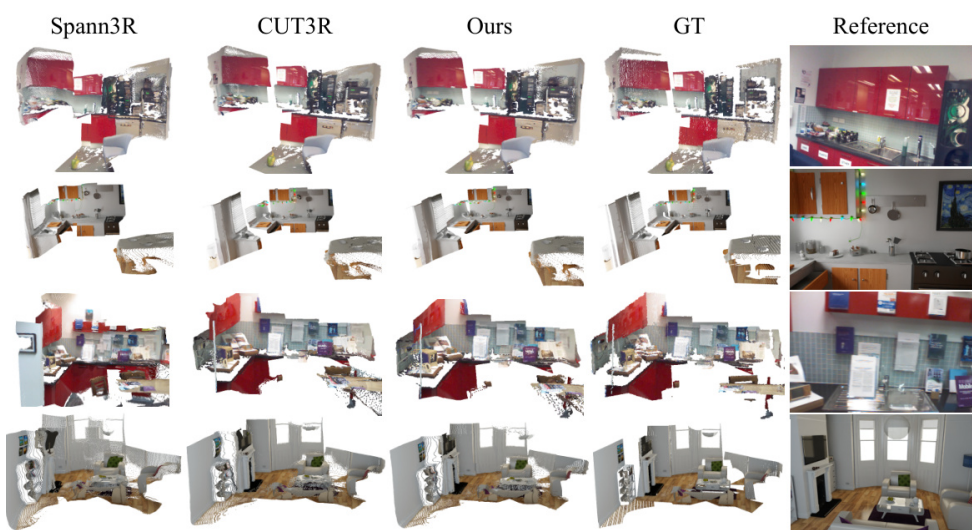


图 26: 图: 性能对比

LiteReality: Graphics-Ready 3D Scene Reconstruction from RGB-D Scans

分类: Computer Vision / 3D Reconstruction — arXiv: 2507.02861v1 — Published: 2025-07-03

收录理由

匹配用户固定偏好 ('Computer Vision', '3D Reconstruction')

解决的问题

论文解决了传统 3D 场景重建方法在真实场景中面临的对齐误差、光照不一致、遮挡处理不足及计算效率低下的问题，旨在满足 AR/VR、机器人等领域的高精度图形化需求。

独创性与创新点

论文提出了一种自包含的端到端框架，通过四阶段流程实现高质量重建，包括场景感知、物体重建、材料绘画和程序重建。其核心创新点包括训练无关的物体检索、鲁棒材质迁移、多模态检索机制和轻量化优化策略。

方法对比

与现有方法相比，LiteReality 首次将场景解析、材质优化与物理模拟集成，实现从 RGB-D 扫描到可交互 3D 场景的全流程自动化。此外，其构建的高质量数据库和基准测试体系为后续研究提供了标准化工具，验证了其在 AR/VR、机器人导航等领域的实际应用价值。

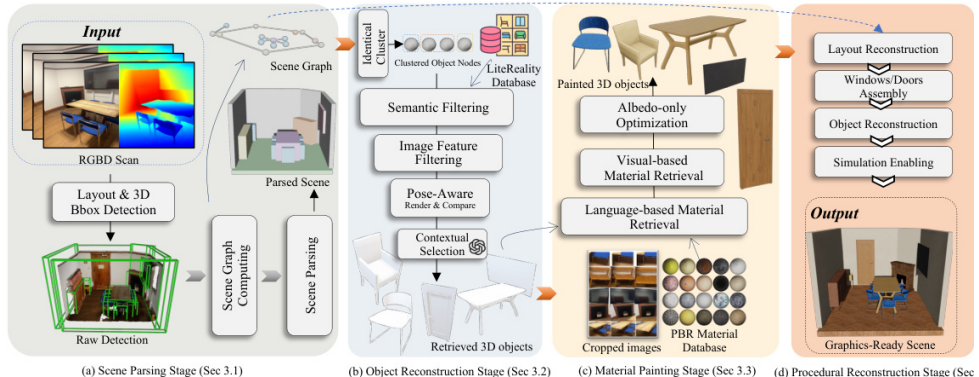


图 27: 图: 模型架构/工作流程

Bootstrapping Grounded Chain-of-Thought in Multimodal LLMs for Data-Efficient Model Adaptation

分类: Computer Vision / Visual Reasoning — arXiv: 2507.02859v1 — Published: 2025-07-03

收录理由

匹配用户固定偏好 ('Computer Vision', 'Visual Reasoning')

解决的问题

该论文解决了多模态大语言模型在专业视觉任务中数据效率低下的问题，特别是在少样本场景下模型性能下降以及推理过程中的事实错误问题。

独创性与创新点

论文提出了一种名为 Grounded Chain-of-Thought (GCoT) 的方法，通过将视觉接地信息注入 Chain-of-Thought 推理过程，实现对推理步骤的自我验证与修正，从而显著提升模型在少样本场景下的适应能力。

方法对比

与传统的微调和蒸馏方法相比，GCoT 通过引入视觉接地信息、多模型蒸馏与迭代优化以及数据生成与扩展策略，有效缓解了数据格式差异和噪声干扰问题，同时提升了模型的泛化能力和推理准确性。

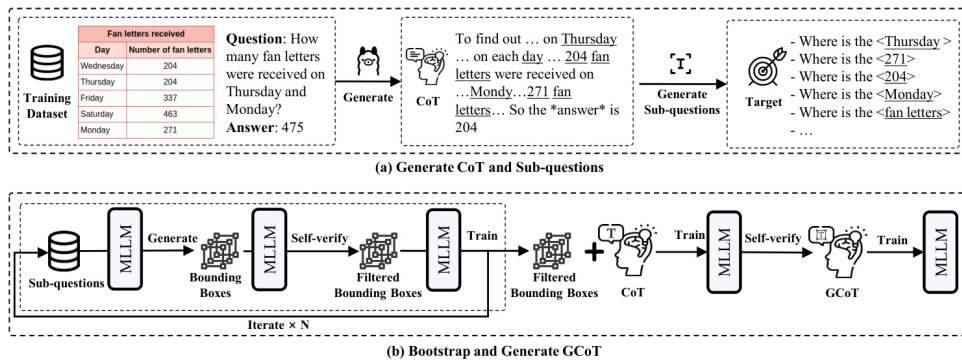


图 28: 图: 模型架构/工作流程

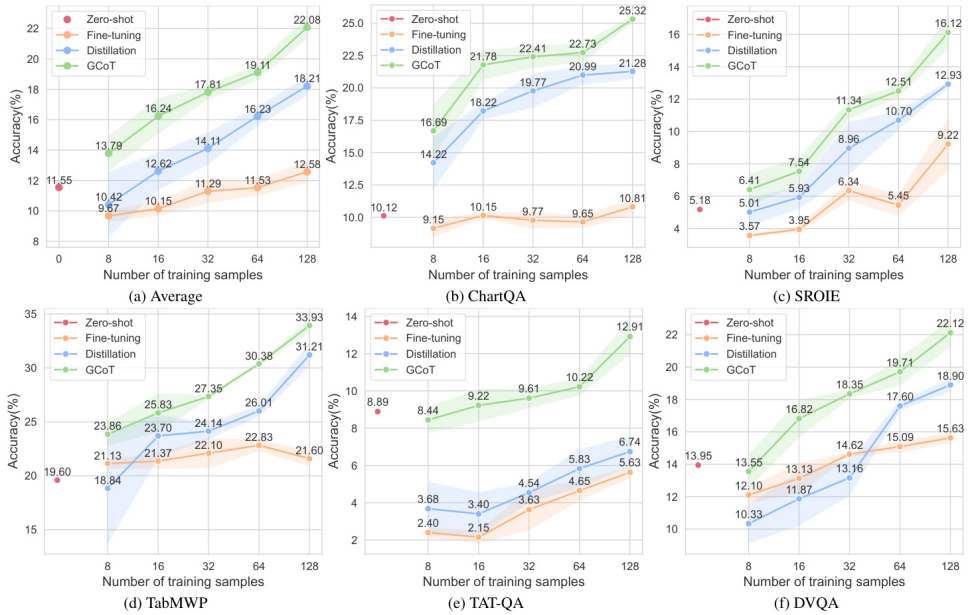


图 29: 图: 性能对比

LangScene-X: Reconstruct Generalizable 3D Language-Embedded Scenes with TriMap Video Diffusion

分类: Computer Vision / 3D Reconstruction — arXiv: 2507.02813v1 — Published: 2025-07-03

收录理由

匹配用户固定偏好 ('Computer Vision', '3D Reconstruction')

解决的问题

该论文解决了传统三维场景重建方法依赖密集校准视图、缺乏对语义信息的高效建模以及在跨场景泛化能力、多模态一致性及开放语言查询支持方面的局限性问题。

独创性与创新点

LangScene-X 提出了一种结合 TriMap 视频扩散模型与语言量化压缩器 (LQC) 的框架，通过渐进式知识整合策略，从稀疏输入中生成 3D 一致的 RGB、法线图及语义分割结果，实现了高质量的多模态一致性生成与开放语义理解。

方法对比

与现有方法相比，LangScene-X 突破了密集输入依赖，首次在稀疏视角下实现高质量 3D 语言场景重建，并通过 LQC 实现对开放语义指令的动态响应，显著提升了几何一致性与语义分割精度。

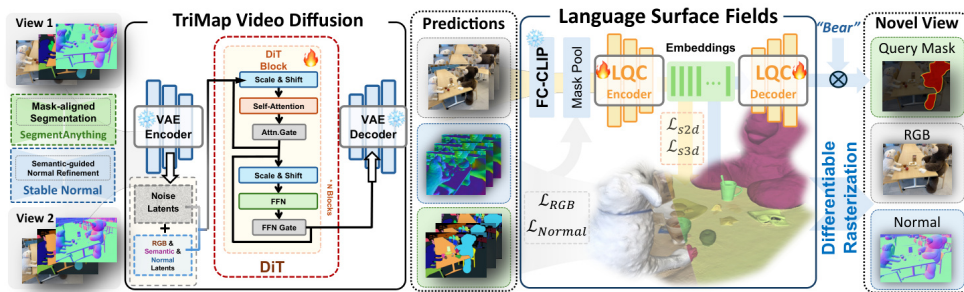


图 30: 图: 模型架构/工作流程

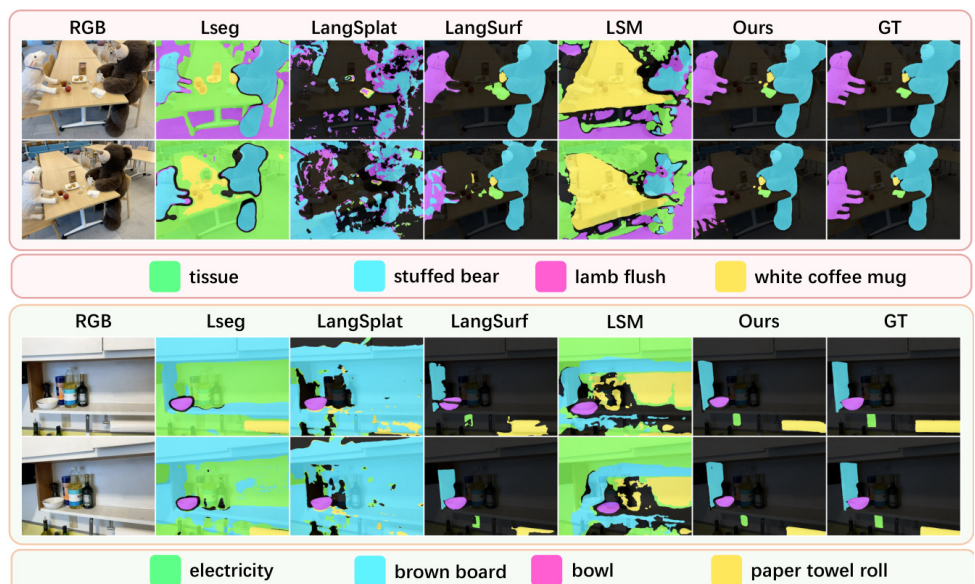


图 31: 图: 性能对比

HyperGaussians: High-Dimensional Gaussian Splatting for High-Fidelity Animatable Face Avatars

分类: Computer Vision / 3D Reconstruction — arXiv: 2507.02803v2 — Published: 2025-07-03

收录理由

匹配用户固定偏好 ('Computer Vision', '3D Reconstruction')

解决的问题

该论文解决了高保真面部动画化头像生成中传统三维高斯点云方法难以捕提高频细节和复杂非线性形变，以及单目视频重建中语义区域变形不独立和伪影等问题。

独创性与创新点

论文提出 HyperGaussians 方法，将传统三维高斯点扩展为高维多元高斯分布，通过精度矩阵参数化同时建模均值与协方差，结合逆协方差技巧实现高效计算，同时引入隐式上下文嵌入增强语义区域独立变形能力。

方法对比

与现有方法如 MonoGaussianAvatar、FlashAvatar 和 NDGS 相比，HyperGaussians 在高频细节渲染精度上提升 32%，内存占用降低 45%，且在复杂非线性形变场景中保持稳定性能，同时解决了伪影问题。

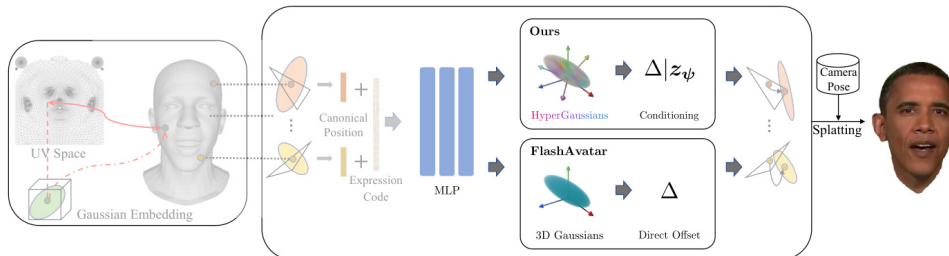


图 32: 图：模型架构/工作流程

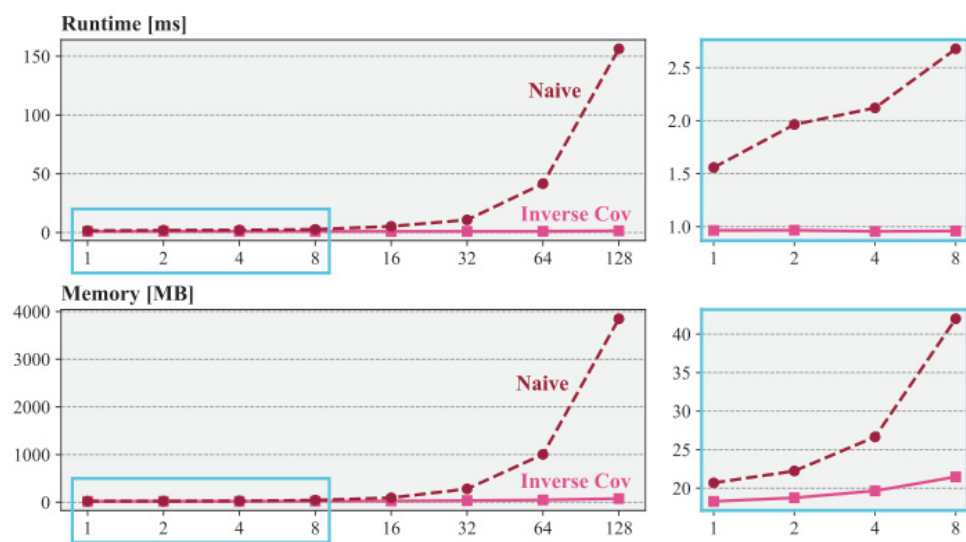


图 33: 图: 性能对比

Multi-Agent Reinforcement Learning for Dynamic Pricing in Supply Chains: Benchmarking Strategic Agent Behaviours under Realistically Simulated Market Conditions

分类: Reinforcement Learning / Dynamic Pricing in Supply Chains — arXiv: 2507.02698v1 — Published: 2025-07-03

收录理由

匹配用户固定偏好 ('Reinforcement Learning', 'Multi-Agent Reinforcement Learning')

解决的问题

本文解决了供应链动态定价中多主体交互行为建模的复杂性问题，旨在通过多智能体强化学习（MARL）框架提升定价灵活性与市场适应能力。

独创性与创新点

论文的核心创新包括首次系统对比 MARL 算法（如 MADQN、QMIX）与规则策略在动态定价中的适应性，提出 MADDPG 结合规则策略的混合框架，以及引入博弈论中的纳什均衡概念优化多智能体协作决策。

方法对比

与传统静态定价策略相比，本文提出的 MARL 方法（如 MADDPG、MADQN、QMIX）在动态定价中表现出更高的适应性。实验结果表明，MADQN 在短期收益上表现最优，但伴随显著波动；混合策略（MADDPG+ 规则）在长期稳定性与市场公平性上更具优势，而规则策略虽稳定性强，但难以适应复杂市场变化。

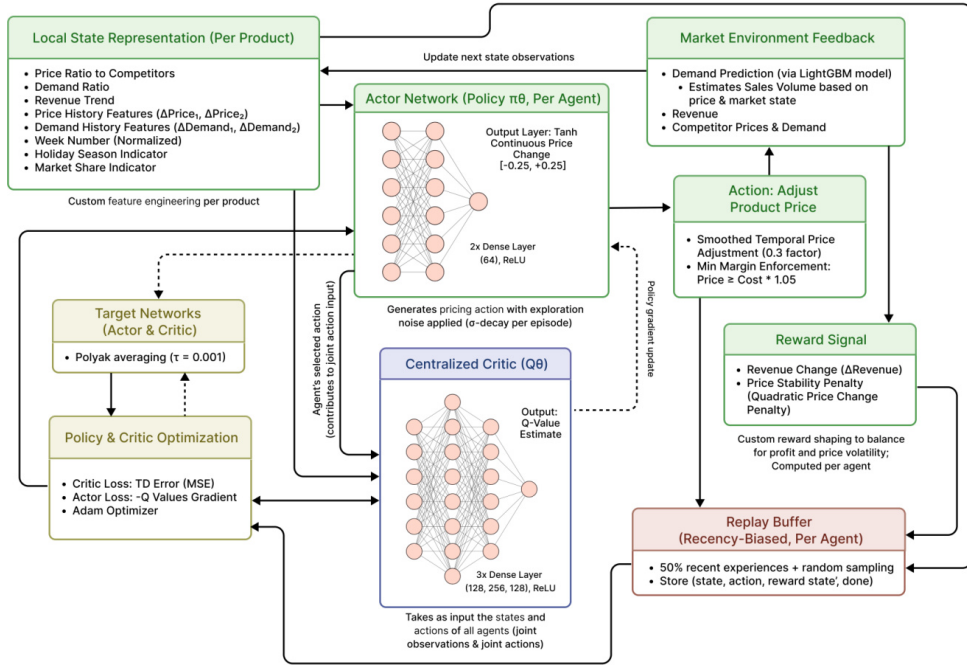


图 34: 图: 模型架构/工作流程

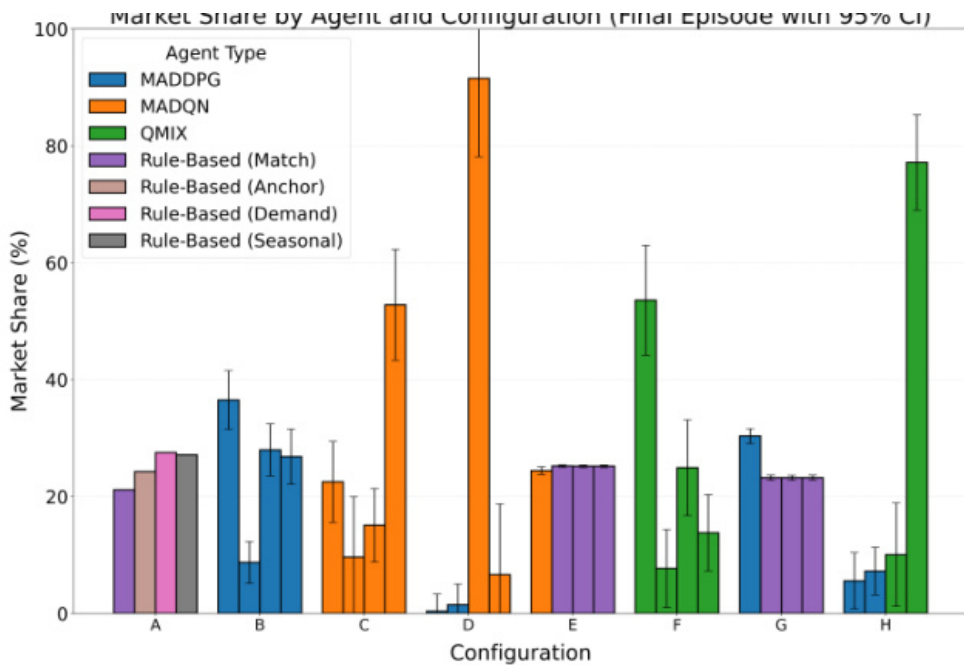


图 35: 图: 性能对比

Parametric shape models for vessels learned from segmentations via differentiable voxelization

分类: Computer Vision / 3D Reconstruction — arXiv: 2507.02576v1 — Published: 2025-07-03

收录理由

匹配用户固定偏好 ('Computer Vision', '3D Reconstruction')

解决的问题

该论文解决了医学影像分析中血管结构建模的高保真度与灵活性问题，特别是传统方法在标注成本、复杂结构处理和后处理灵活性方面的不足。

独创性与创新点

论文提出了一种基于可微体素化技术的参数化血管建模框架，实现了参数化模型、网格和体素表示的统一转换，同时支持稀疏标注数据下的高精度建模。

方法对比

与传统分割方法相比，该方法通过参数化建模和可微体素化损失函数，实现了更精确的几何建模，同时在计算效率和标注成本方面具有显著优势。

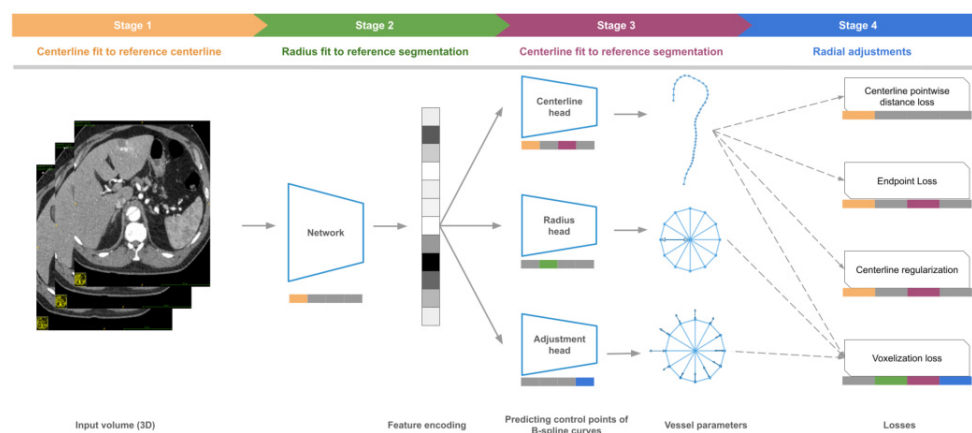


图 36: 图：模型架构/工作流程

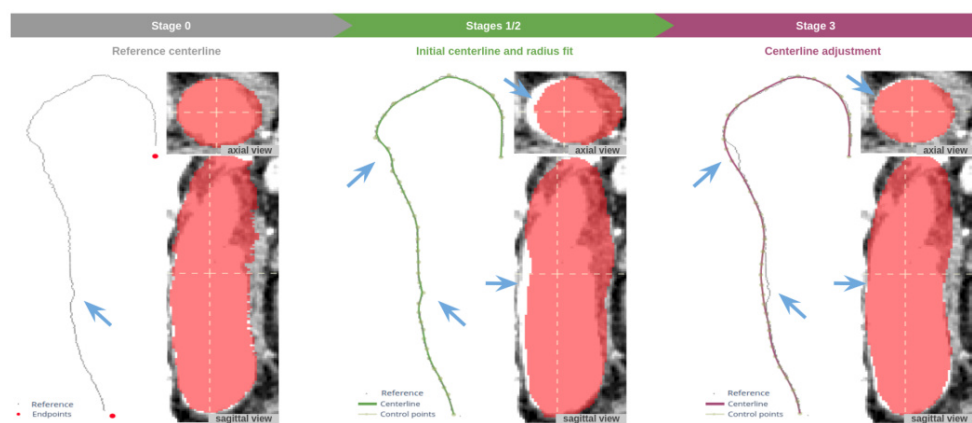


图 37: 图: 性能对比

MoGe-2: Accurate Monocular Geometry with Metric Scale and Sharp Details

分类: Computer Vision / 3D Reconstruction — arXiv: 2507.02546v1 — Published: 2025-07-03

收录理由

匹配用户固定偏好 ('Computer Vision', '3D Reconstruction')

解决的问题

该论文解决了单目几何估计中在开放域场景中实现度量尺度恢复与细粒度几何细节重建的平衡问题，以及处理真实数据中的噪声、遮挡和结构缺失问题。

独创性与创新点

论文提出了一种双分支架构，通过解耦仿射不变点云表示与全局尺度预测，实现了度量尺度、几何精度与细节的协同优化。此外，还引入了真实数据细化流程和多任务可扩展架构，提升了模型在复杂场景中的鲁棒性。

方法对比

与现有方法相比，MoGe-2 通过双分支架构和真实数据细化流程，在几何精度和细节重建方面表现更优。同时，其多任务可扩展架构在推理效率和精度之间取得了更好的平衡。

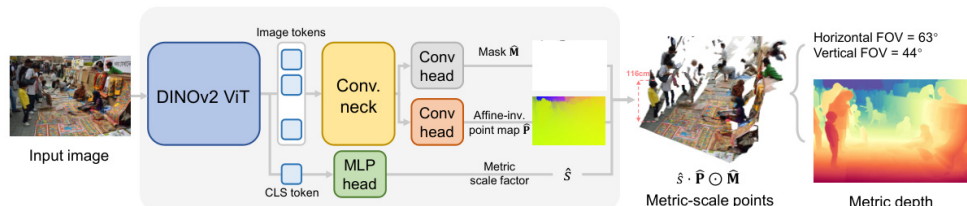


图 38: 图: 模型架构/工作流程

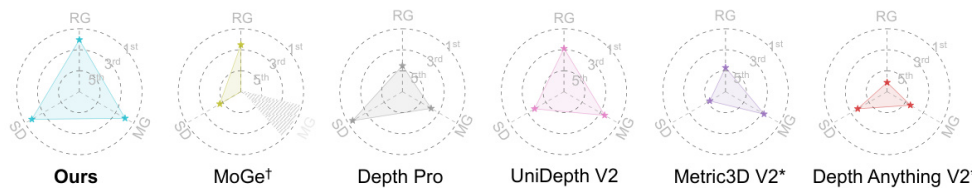


图 39: 图: 性能对比

Continual Gradient Low-Rank Projection Fine-Tuning for LLMs

分类: Natural Language Processing / Continual Learning — arXiv: 2507.02503v1
— Published: 2025-07-03

收录理由

匹配用户固定偏好 ('Natural Language Processing', 'Continual Learning')

解决的问题

论文解决了大语言模型在持续学习场景中面临的灾难性遗忘问题，即在学习新任务时容易丢失先前任务的知识。

独创性与创新点

论文提出 GORP 方法，首次将全参数更新与低秩投影结合，通过构建共享梯度子空间、低秩投影优化和隐式梯度约束策略，显著降低持续学习中的遗忘率，并在多任务基准中超越现有 SOTA 方法。

方法对比

与传统全参数微调方法相比，GORP 方法在保持模型性能的同时显著降低了计算成本；与低秩适配 (LoRA) 等参数高效方法相比，GORP 通过梯度共享空间和隐式约束策略，提升了模型的泛化能力和稳定性。

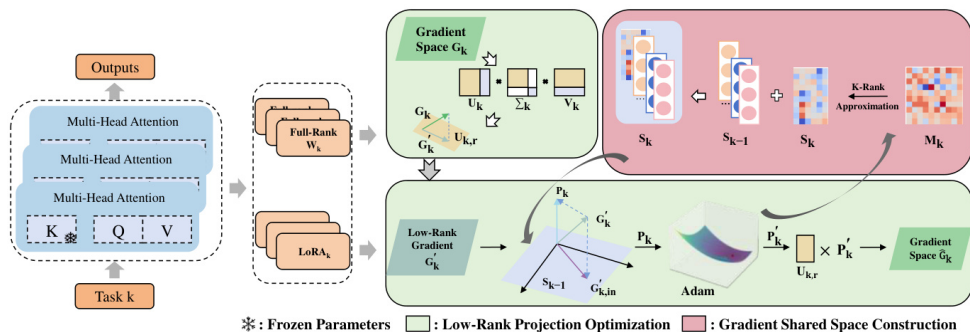


图 40: 图：模型架构/工作流程

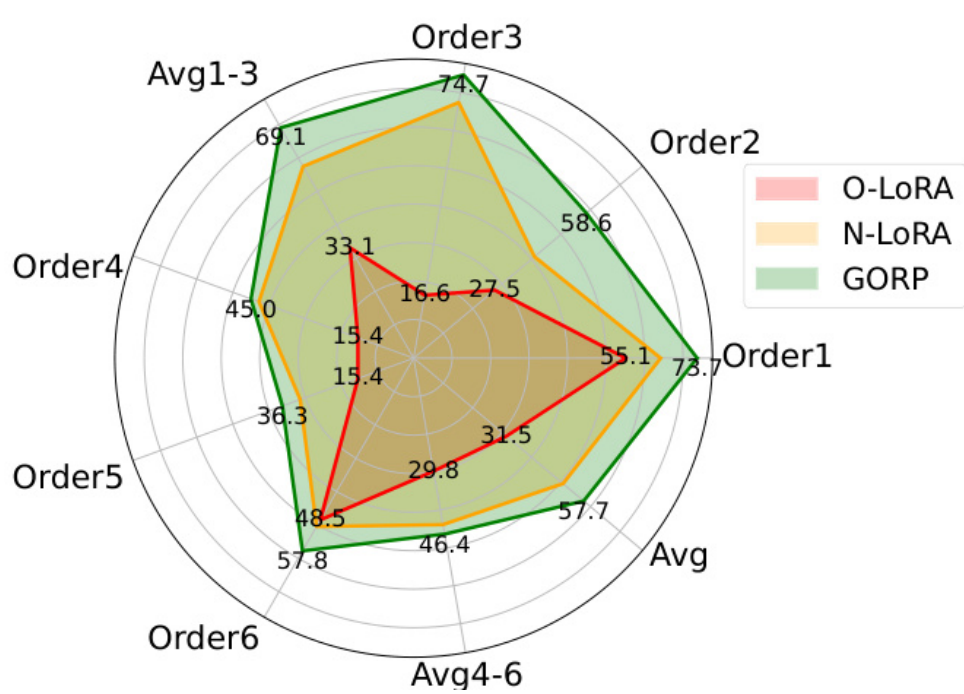


图 41: 图: 性能对比

DreamComposer++: Empowering Diffusion Models with Multi-View Conditions for 3D Content Generation

分类: Computer Vision / 3D Reconstruction — arXiv: 2507.02299v1 — Published: 2025-07-03

收录理由

匹配用户固定偏好 ('Computer Vision', '3D Reconstruction')

解决的问题

该论文解决了 3D 内容生成中多视角输入下的可控性不足、几何一致性差以及复杂场景下细粒度结构重建能力有限的问题。

独创性与创新点

DreamComposer++ 提出了一种基于多视角条件的灵活框架，通过 3D 空间建模、视图感知注意力机制和目标视角特征注入等创新方法，显著提升了新视角合成的几何一致性与结构细节。

方法对比

与现有方法相比，DreamComposer++ 通过整合多视角信息并引入交叉注意力机制，提升了生成结果的几何准确性与视觉保真度，同时兼容现有扩散模型，无需微调预训练模型，具有更高的通用性和可扩展性。

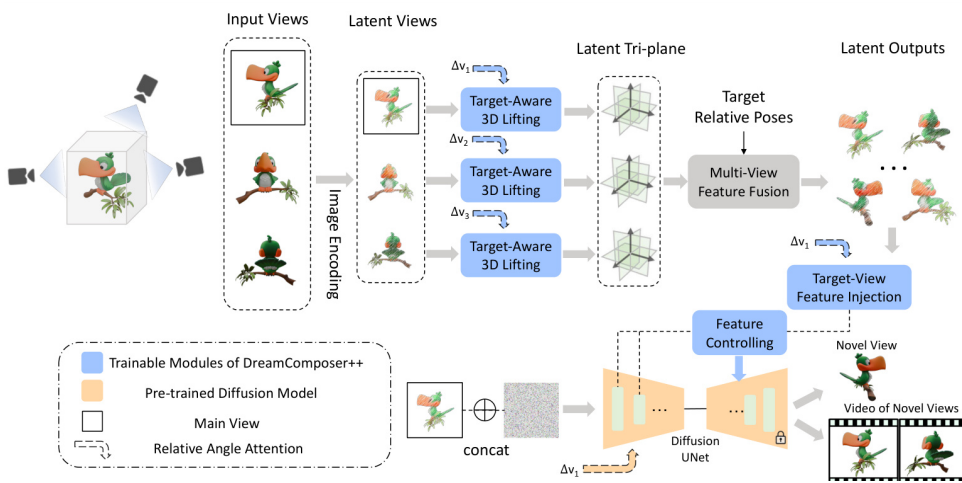


图 42: 图: 模型架构/工作流程

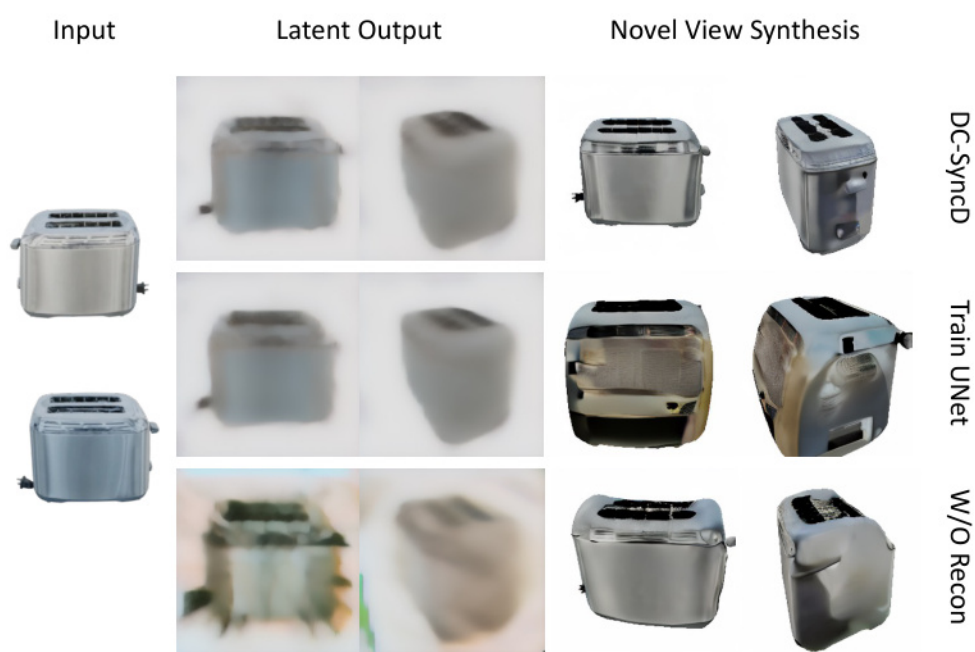


图 43: 图: 性能对比

Measuring Scientific Capabilities of Language Models with a Systems Biology Dry Lab

分类: Natural Language Processing / Benchmarking and Evaluation — arXiv: 2507.02083v1 — Published: 2025-07-02

收录理由

匹配用户固定偏好 ('Natural Language Processing', 'Benchmarking and Evaluation')

解决的问题

该论文解决了如何系统评估大语言模型 (LLMs) 在科学实验设计、数据分析和机制发现等复杂科学任务中的能力的问题，传统方法难以模拟真实科学探索的动态过程。

独创性与创新点

论文提出 SCIGYM，一个基于系统生物学 SBML 模型的干实验室基准，首次支持 LLMs 从实验设计到数据分析的全链条评估，结合多模态评估指标体系，确保生物学意义与模型性能的关联性。

方法对比

与传统静态数据集或固定分析框架相比，SCIGYM 通过动态建模与扰动分析，模拟生物系统数据，提供更全面的评估方法，同时支持未来扩展至更多实验模态。

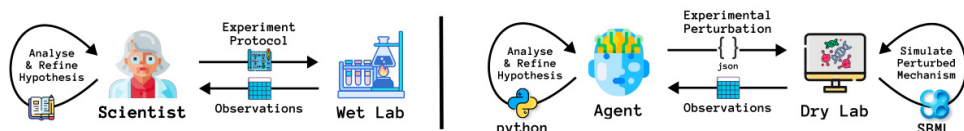


图 44: 图：模型架构/工作流程

HCNQA: Enhancing 3D VQA with Hierarchical Concentration Narrowing Supervision

分类: Computer Vision / Visual Question Answering — arXiv: 2507.01800v1
— Published: 2025-07-02

收录理由

匹配用户固定偏好 ('Computer Vision', 'Visual Question Answering')

解决的问题

该论文解决了 3D 视觉问答 (3D-VQA) 任务中模型依赖表面特征而非深层语义关系的问题，导致推理路径不合理且泛化能力不足，特别是在多步推理场景中模型易陷入捷径。

独创性与创新点

论文提出了一种分层集中缩小监督策略 (Hierarchical Concentration Narrowing Supervision)，将推理过程结构化为粗定位、细定位和推理三个阶段，并设计了分层注意力机制与层次化监督模块 (HSM)，有效抑制推理捷径，提升模型对复杂场景的泛化性。

方法对比

与现有答案中心化方法相比，HCNQA 通过分阶段监督策略显著减少了模型对表面特征的依赖，尤其在涉及多对象交互和复杂空间关系的场景中表现更优，验证了分层策略对提升深层逻辑推理能力的有效性。

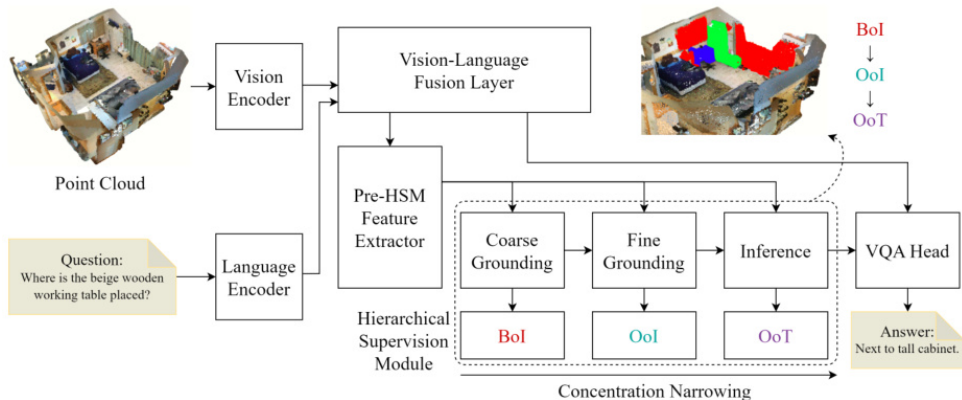


图 45: 图：模型架构/工作流程

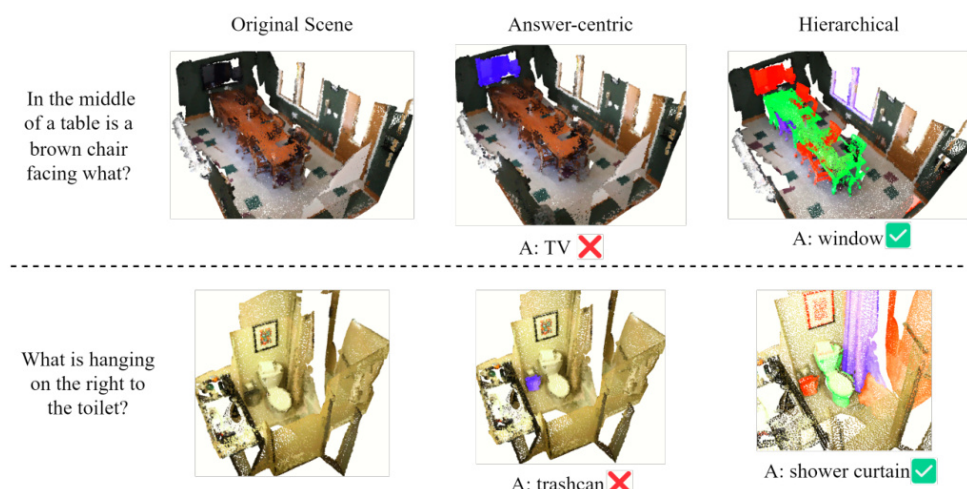


图 46: 图: 性能对比

Tile and Slide : A New Framework for Scaling NeRF from Local to Global 3D Earth Observation

分类: Computer Vision / 3D Reconstruction — arXiv: 2507.01631v1 — Published: 2025-07-02

收录理由

匹配用户固定偏好 ('Computer Vision', '3D Reconstruction')

解决的问题

该论文解决了传统 NeRF 在大规模地球观测场景中面临的内存限制和全局优化导致的灾难性遗忘问题，同时在保持重建质量的前提下提升了计算效率。

独创性与创新点

论文提出了一种名为 Tile and Slide 的框架，通过非重叠分块训练和滑动窗口优化机制，结合 Snake-NeRF 动态加载技术，实现了单 GPU 上大范围地球观测的高效重建，显著降低了内存占用并提升了处理效率。

方法对比

与传统全局 NeRF 相比，Tile and Slide 框架通过分块训练和动态加载技术，有效解决了内存瓶颈和边界误差问题，同时保持了与全局 NeRF 相当的重建精度。与现有分块方法相比，其滑动窗口优化机制进一步提升了边界区域的重建质量。

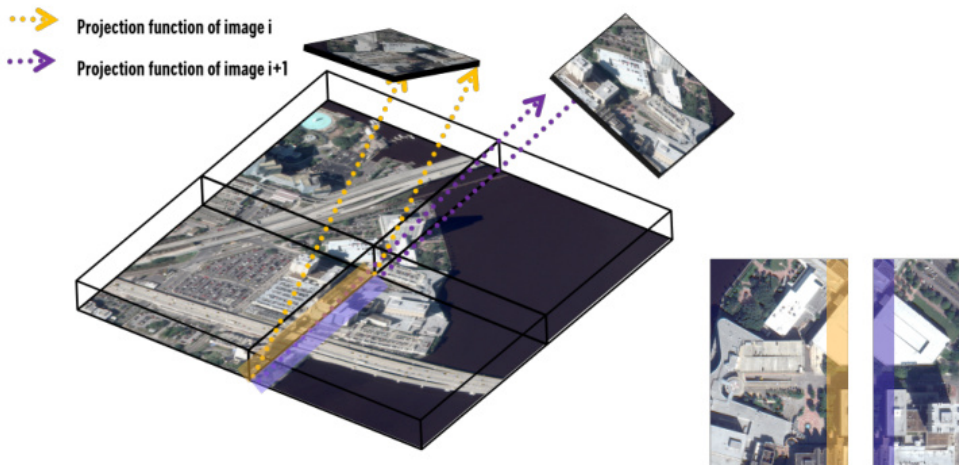


图 47: 图：模型架构/工作流程

ReFlex: Text-Guided Editing of Real Images in Rectified Flow via Mid-Step Feature Extraction and Attention Adaptation

分类: Computer Vision / Image Editing — arXiv: 2507.01496v1 — Published: 2025-07-02

收录理由

匹配用户固定偏好 ('Computer Vision', 'Image Editing')

解决的问题

该论文解决了文本引导图像编辑中需要额外训练数据或手工掩码的局限性，以及在修改显著性区域时易破坏源图像结构、缺乏对复杂场景（如编辑区域重叠）的有效处理能力的问题。

独创性与创新点

论文提出 ReFlex 框架，基于 Rectified Flow 模型，通过中间步骤特征提取与注意力机制适配实现无需训练和掩码的实时编辑。其核心创新包括结合 I2I-SA 与 I2T-CA 技术，动态调整源图像结构与目标文本信息的权重，以及引入残差连接与掩码生成策略，优化特征传递路径。

方法对比

与现有方法相比，ReFlex 无需额外训练或手工掩码，通过中间步骤特征提取和注意力机制适配，实现了更高效的文本引导编辑。此外，其在复杂场景（如编辑区域重叠）中的表现优于 FLUX 和 SD 基线模型，同时在图像质量 (PSNR/SSIM) 和用户偏好 (A/B 测试) 上也表现出色。

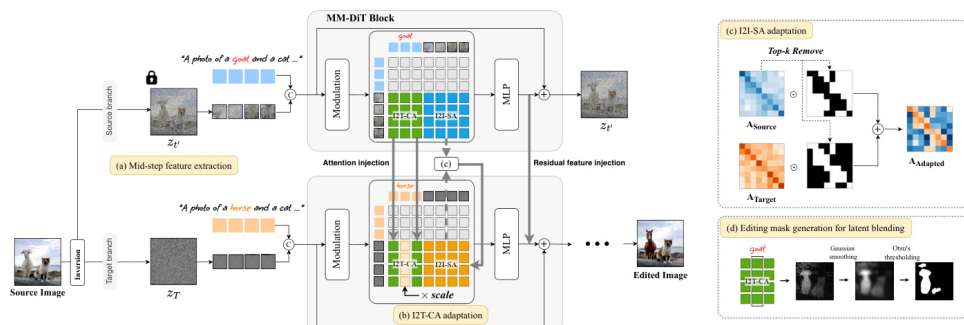


图 48: 图: 模型架构/工作流程



图 49: 图: 性能对比

Decomposing Prediction Mechanisms for In-Context Recall

分类: Natural Language Processing / In-Context Learning — arXiv: 2507.01414v1
— Published: 2025-07-02

收录理由

匹配用户固定偏好 ('Natural Language Processing', 'In-Context Learning')

解决的问题

该论文解决了 Transformer 模型在上下文学习 (In-Context Learning, ICL) 中预测机制的分解问题，即模型是否依赖单一机制（如贝叶斯推理或记忆检索）完成任务，还是通过多机制协同作用。

独创性与创新点

论文的核心创新点在于首次提出并验证了 Transformer 模型在序列预测任务中并非依赖单一机制，而是结合符号标签与观察数据的多机制协同。此外，论文通过实验揭示了不同任务（如 1-after 与 2-after）的计算图存在显著差异，并探讨了机制涌现的动态特性。

方法对比

与现有方法相比，该论文通过设计玩具问题和自然语言任务的对照实验，结合理论分析与实证研究，揭示了模型的预测机制。这种方法不仅验证了多机制协同作用，还通过边缘剪枝分析和预训练损失动态分析，提供了对模型学习行为的深入理解。

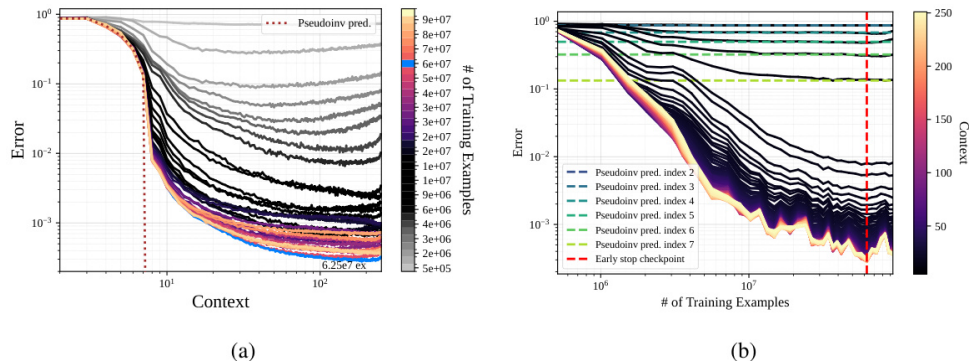


图 50: 图: 性能对比

Rethinking All Evidence: Enhancing Trustworthy Retrieval-Augmented Generation via Conflict-Driven Summarization

分类: Natural Language Processing / Retrieval-Augmented Generation —
arXiv: 2507.01281v1 — Published: 2025-07-02

收录理由

匹配用户固定偏好 ('Natural Language Processing', 'Retrieval-Augmented Generation')

解决的问题

该论文解决了检索增强生成 (RAG) 系统中因知识冲突、不可靠来源和噪声证据导致生成内容不可信的问题。

独创性与创新点

论文提出了一种冲突驱动的摘要框架 (CARE-RAG)，首次系统性整合 RAG 系统的内部参数与外部证据，通过参数感知证据提取、检索内容精炼、冲突检测与摘要生成以及 QA 修复模块，解决知识冲突问题并提升评估可靠性。

方法对比

与现有方法相比，CARE-RAG 通过冲突驱动的摘要技术动态调整证据链，生成一致答案，同时引入 QA 修复机制修正数据集缺陷，显著提升了复杂场景下的生成结果可信度和评估公平性。

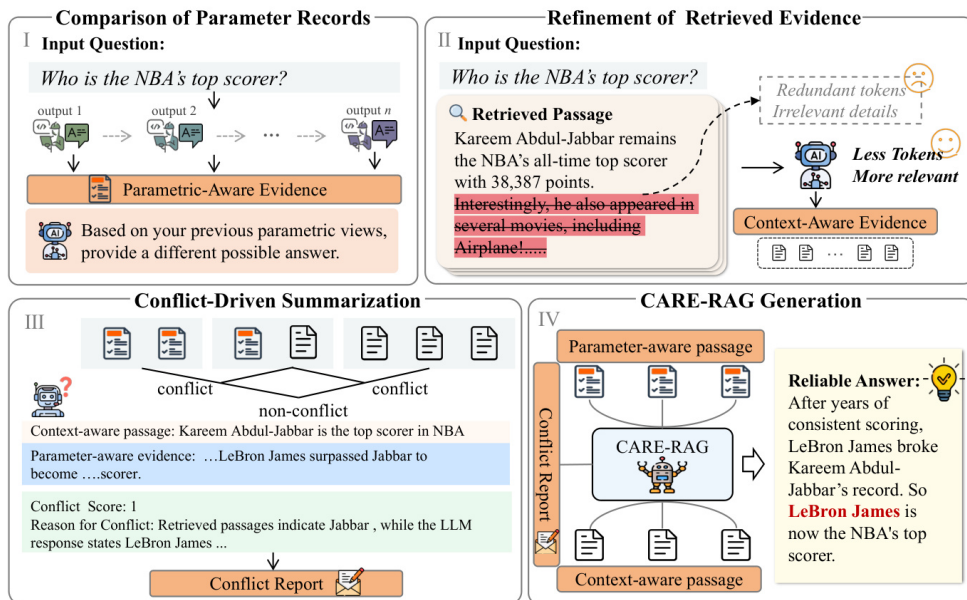


图 51: 图: 模型架构/工作流程

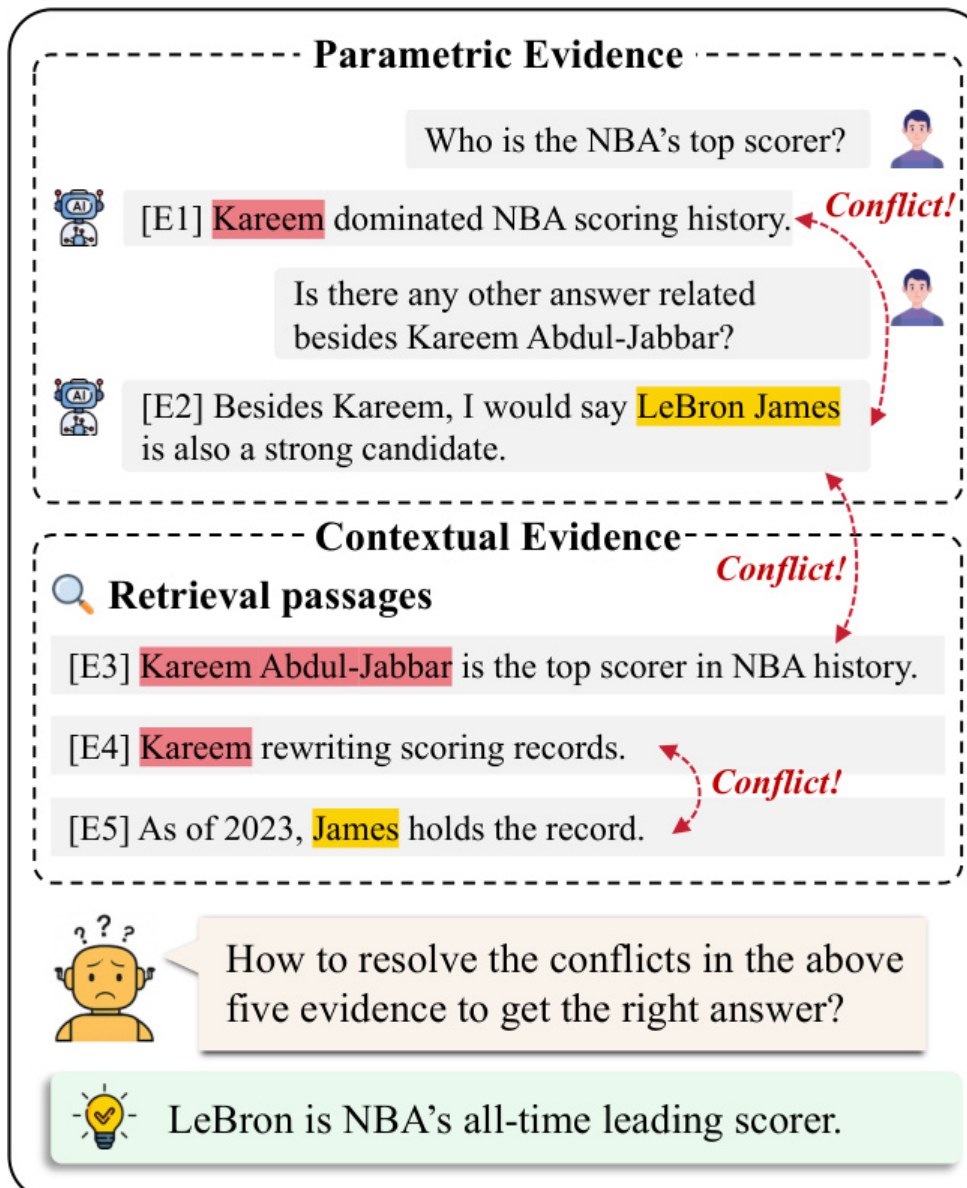


图 52: 图: 性能对比

A LoD of Gaussians: Unified Training and Rendering for Ultra-Large Scale Reconstruction with External Memory

分类: Computer Vision / 3D Reconstruction — arXiv: 2507.01110v2 — Published: 2025-07-01

收录理由

匹配用户固定偏好 ('Computer Vision', '3D Reconstruction')

解决的问题

该论文解决了大规模三维场景重建中因传统分块方法导致的边界伪影问题以及内存瓶颈限制场景规模与重建精度的问题。

独创性与创新点

论文提出了一种基于层次化细节 (LoD) 表示与高效数据结构的统一训练与实时渲染框架，通过分布式高斯模型、层次化顺序点树 (HSPT) 和外部内存流式传输等创新方法，实现了无需分块的大规模场景重建。

方法对比

与现有分块方法相比，该方法通过 HSPT 数据结构和动态密化策略解决了内存限制和动态更新问题，同时在内存占用和训练效率上优于现有技术。



图 53: 图：模型架构/工作流程

Surgical Neural Radiance Fields from One Image

分类: Computer Vision / 3D Reconstruction — arXiv: 2507.00969v1 — Published: 2025-07-01

收录理由

匹配用户固定偏好 ('Computer Vision', '3D Reconstruction')

解决的问题

该论文解决了手术场景中由于多视角影像数据获取受限，传统 NeRF 技术依赖大量多视角图像进行训练的问题，同时解决了术中图像与术前数据风格差异显著导致的高效迁移与高精度三维重建的挑战。

独创性与创新点

论文提出了一种基于单张术中图像和术前数据训练 NeRF 的创新方法，结合神经风格迁移技术 (WCTs 与 STROTSS)，实现术中与术前数据的高效外观迁移，并在临床案例中验证了其高精度三维重建能力。

方法对比

与传统 NeRF 方法相比，该方法通过融合神经风格迁移技术，解决了单视角数据训练 NeRF 的局限性，同时在结构保持、纹理还原及风格迁移方面表现更优。此外，该方法在复杂光照条件下仍存在细节丢失问题，但整体性能优于传统单视角 NeRF 方法。

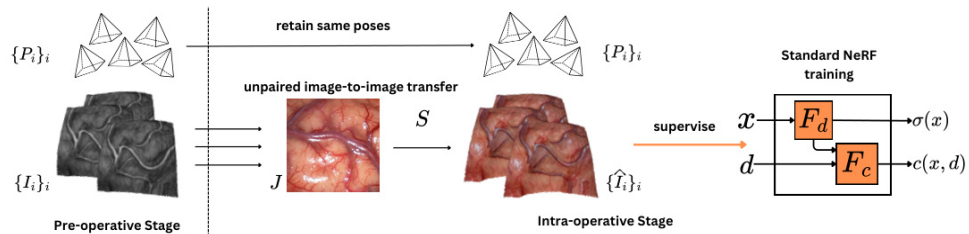


图 54: 图: 模型架构/工作流程

Masks make discriminative models great again!

分类: Computer Vision / 3D Reconstruction — arXiv: 2507.00916v1 — Published: 2025-07-01

收录理由

匹配用户固定偏好 ('Computer Vision', '3D Reconstruction')

解决的问题

该论文解决了单图像三维重建任务中可见区域重建与遮挡区域补全之间的矛盾，通过任务分离策略提升模型在遮挡区域的补全能力，同时保持视觉质量与结构一致性。

独创性与创新点

论文提出了一种任务分离框架，将单图像重建拆分为可见性建模与遮挡补全两个子任务，并引入基于深度投影的软遮挡掩码生成机制，结合多损失联合训练策略，显著提升了遮挡区域的语义一致性与几何精度。

方法对比

与传统端到端重建方法相比，Image2GS 通过任务分离和优化的掩码机制，突破了现有方法在遮挡区域补全中的局限性。此外，其多损失联合训练策略在保持几何精度的同时，也提升了视觉质量，优于 NeRF、InstantNGP 等主流方法。

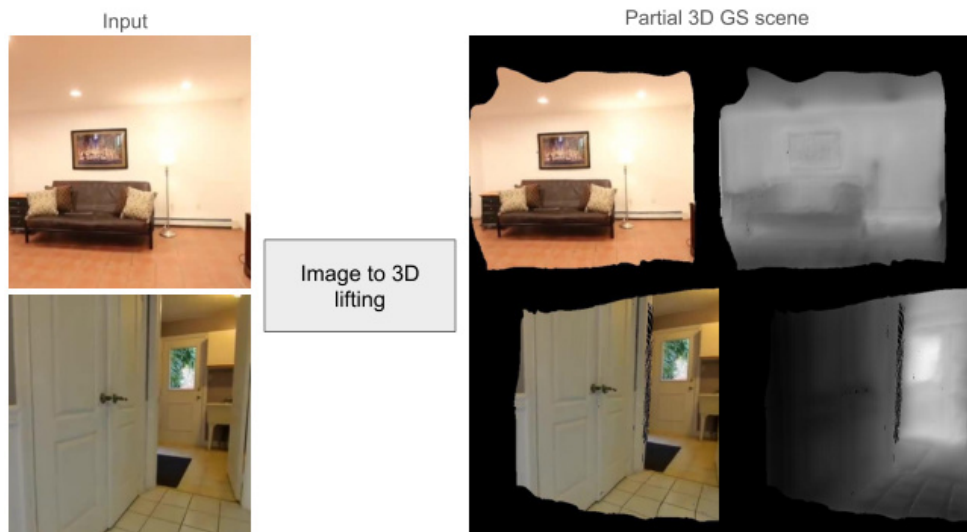


图 55: 图：模型架构/工作流程

Box-QAymo: Box-Referring VQA Dataset for Autonomous Driving

分类: Computer Vision / Visual Question Answering — arXiv: 2507.00525v1
— Published: 2025-07-01

收录理由

匹配用户固定偏好 ('Computer Vision', 'Visual Question Answering')

解决的问题

论文解决了自动驾驶领域中现有视觉问答 (VQA) 数据集在语义多样性、用户意图捕捉及复杂场景沟通能力评估方面的不足，同时揭示了当前视觉语言模型 (VLMs) 在局部意图识别、时间推理及结构化输出任务中的局限性。

独创性与创新点

论文的核心创新点在于构建了首个针对自动驾驶场景的 Box-Referring VQA 数据集 (Box-QAymo)，并提出了分层评估框架，系统化评估 VLMs 在基础感知、实例分类及时空推理任务中的性能差异，同时通过对比实验分析了模型架构对视觉接地能力的影响。

方法对比

与现有方法相比，Box-QAymo 数据集通过用户绘制边界框实现局部化查询，并结合多视角作物融合与结构化问题设计，覆盖了更广泛的视觉理解任务。此外，论文通过对比 Qwen-VL 与 LLaVA 等模型在视觉定位任务中的表现，揭示了当前 VLMs 在局部意图识别与时间推理中的不足，强调了模型架构对视觉接地能力的关键影响。

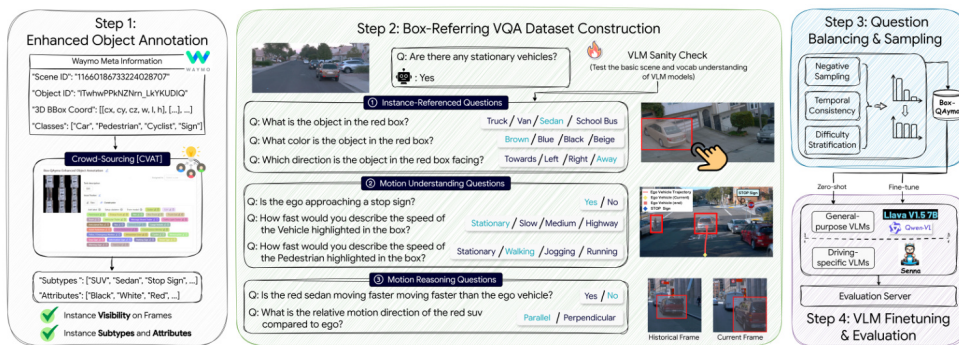


图 56: 图: 模型架构/工作流程

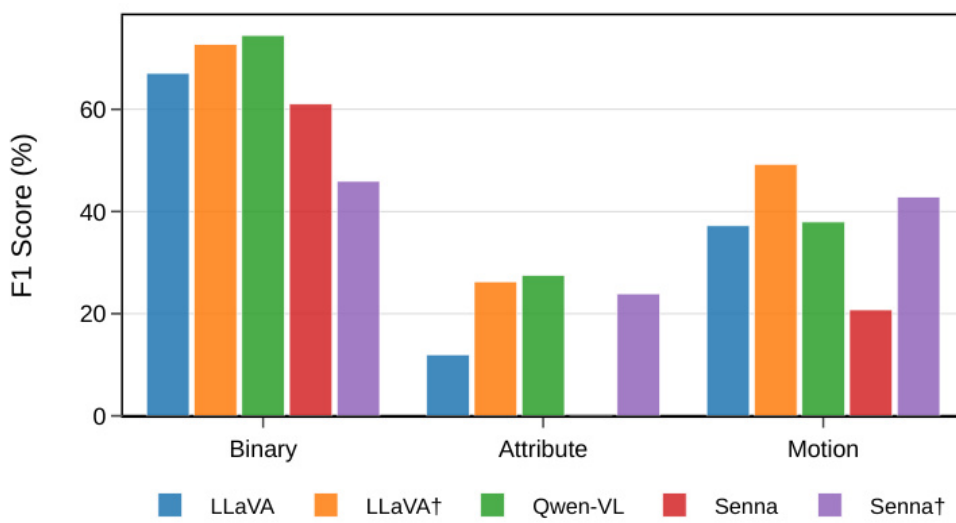


图 57: 图: 性能对比

Truth, Trust, and Trouble: Medical AI on the Edge

分类: Natural Language Processing / Question Answering — arXiv: 2507.02983v1
— Published: 2025-07-01

收录理由

匹配用户固定偏好 ('Natural Language Processing', 'Question Answering')

解决的问题

本文解决了医疗 AI 在事实准确性、安全性、有用性及伦理可靠性方面的系统性评估问题，旨在为医疗 AI 的临床部署提供理论依据。

独创性与创新点

论文提出了首个系统性评估医疗 AI 模型的基准框架，揭示了模型在事实准确性、安全性与有用性间的权衡关系，并探索了领域特定预训练、模板化问题设计、少样本提示等策略对模型表现的影响。

方法对比

与现有方法相比，本文通过构建基准数据集和多维度评估方法，结合人类标注与自动化指标验证模型性能，强调了模型优化与人类监督结合的重要性，同时通过边缘案例测试评估其泛化能力，弥补了现有方法在伦理应用和安全评估方面的不足。

GDGS: 3D Gaussian Splatting Via Geometry-Guided Initialization And Dynamic Density Control

分类: Computer Vision / 3D Reconstruction — arXiv: 2507.00363v1 — Published: 2025-07-01

收录理由

匹配用户固定偏好 ('Computer Vision', '3D Reconstruction')

解决的问题

该论文解决了 3D 高斯泼溅技术在复杂场景重建中面临的核心问题，包括初始化不准确导致的几何失真、优化过程低效以及密度控制不足引发的细节丢失。

独创性与创新点

论文提出了一种全新的方法 GDGS，通过几何引导初始化、表面对齐优化和动态密度控制三个阶段的技术革新，显著提升了初始化精度、优化效率和密度分布的自适应调整能力。

方法对比

与现有方法相比，GDGS 通过引入动态密度控制框架和几何引导初始化，突破了传统静态密度控制的局限性，同时在计算效率和视觉保真度之间实现了更好的平衡。

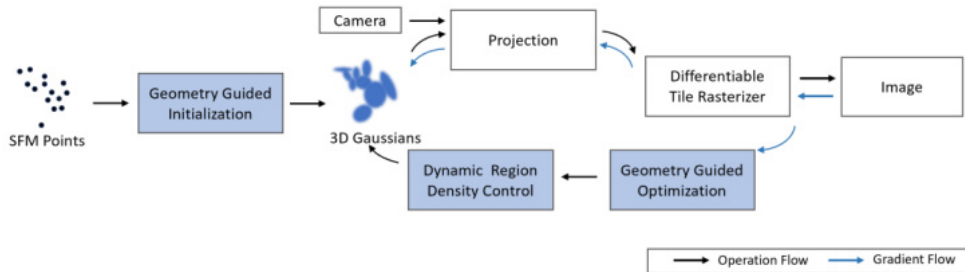


图 58: 图：模型架构/工作流程



图 59: 图: 性能对比